

SACCDMM - Curs 05

Sisteme de codare bazate pe transformari

JPEG

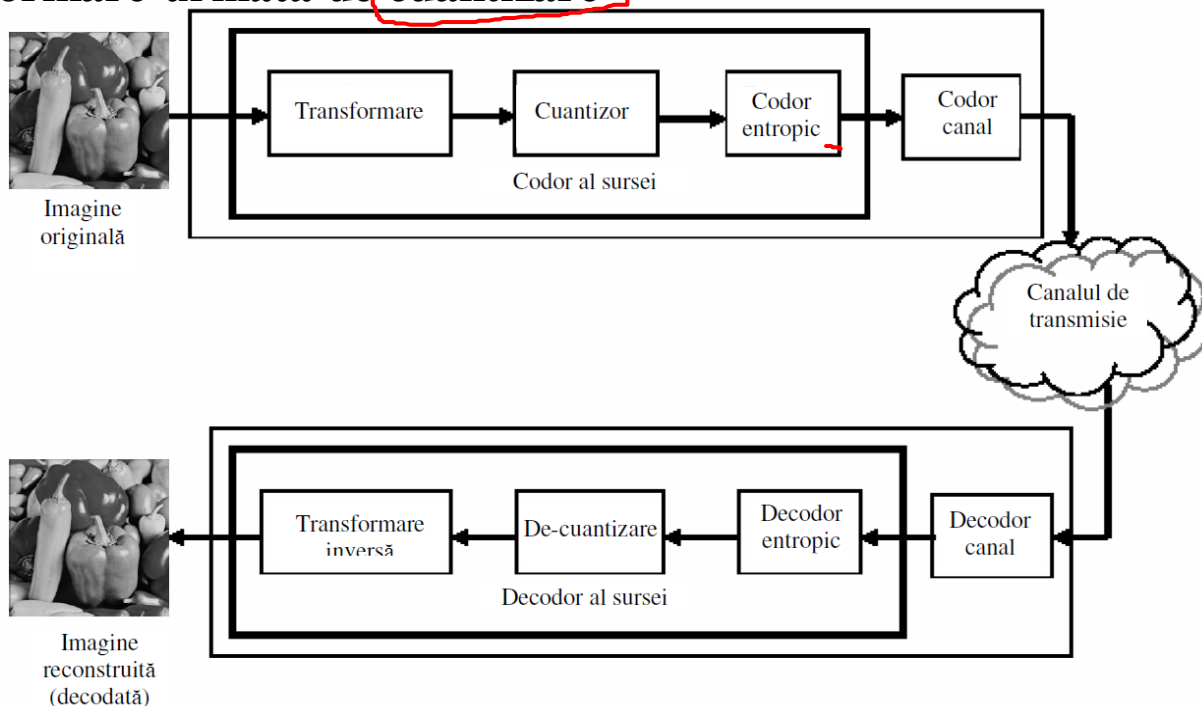
Topicul cursului

- Transformări de imagini
- Transformări ortogonale
- Transformări 2D
- DCT, IDCT

Schema-bloc tipică a unui sistem de compresie a imaginilor bazat pe transformări

- **Compresie** - o imagine poate fi comprimată dacă prezintă redundanță
 - utilizare transformări pentru a decorela intensitățile pixelilor
- **Compresia cu pierderi**
 - se realizează prin transformare urmată de cuantizare

- **Blocul de codare a sursei**
exploatează redundanta datelor



Dar, compresia realizata de blocul de codare a sursei (datorata în principal codării prin transformări) este semnificativa fata de redundanta introdusa de blocul de codare a canalului, încât efectul ultimului în micșorarea ratei de compresie poate fi neglijata.

Compresia prin transformări de imagini

- Compresia imaginilor prin transformări:
 - exploatează principiul **redundanței spațiale**
 - adică: valoarea luminanței fiecărui pixel aduce o cantitate mica de informatie vizuala suplimentara fata de vecinii săi
 - NU vom pierde din informație - transformarea este reversibila (prin aplicarea inversei)
 - vom reprezenta aceeași informație (completă) **într-un mod mai compact** (prin mai puține valori)

=> transformarea intensităților pixelilor - care sunt valori **corelate** - într-o reprezentare în care acestea sunt **decorelate**

- **Decorelare**
 - valorile după transformare sunt (ideal) independente una de alta
 - media noilor valori este mai mica decât a valorilor inițiale
 - entropia noilor valori este redusă (mai mică)
 - ⇔ reducerea numărului de biți necesar pentru reprezentarea

Compresia prin transformări de imagini

- Există mai multe transformări de imagini
 - cu cât o transformare de imagine *decorelează* mai mult coeficientii în imaginea transformata si
 - *compacteaza* mai bine energia într-un numar mai mic de coeficienti (date-imagine),
=> transformare mai buna din punctul de vedere al ratei de compresie a imaginii rezultate
- IMPORTANT: *complexitatea de calcul a transformarii*
 - în implementările practice - trebuie sa fie cât mai mica
 - altfel, exista riscul imposibilitatii transmisiei si receptiei imaginilor/secventelor video în timp real.
- Transformările tratate
 - Ortogonale (Hadamard, DCT)
 - Sub-banda (Wavelet)

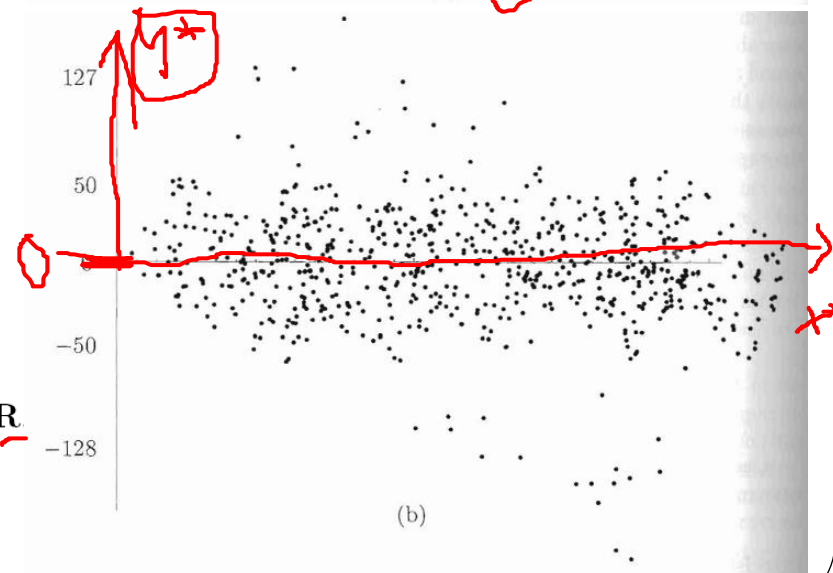
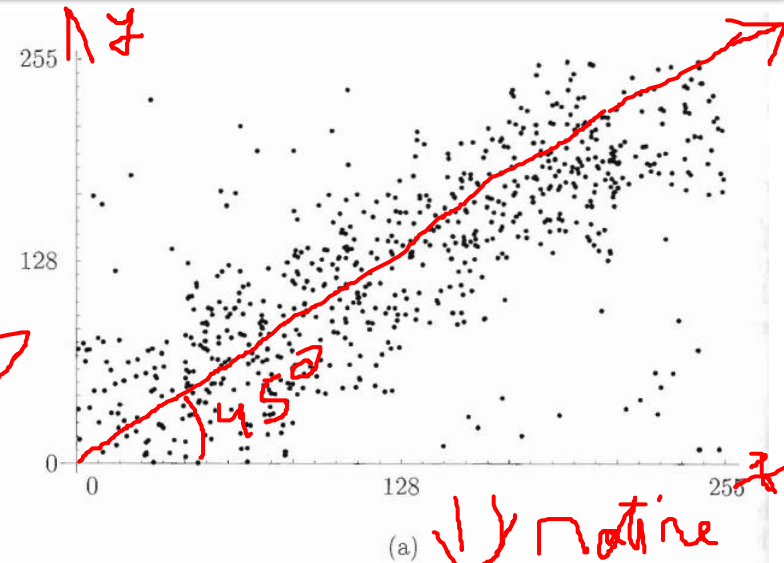
Transformări de imagini – exemplu [Salomon, 2007]

Scanare imagine

– extragere perechi de intensități adiacente (x, y)

x	y	x	y	...	x	y
.
.
.
...
.
.

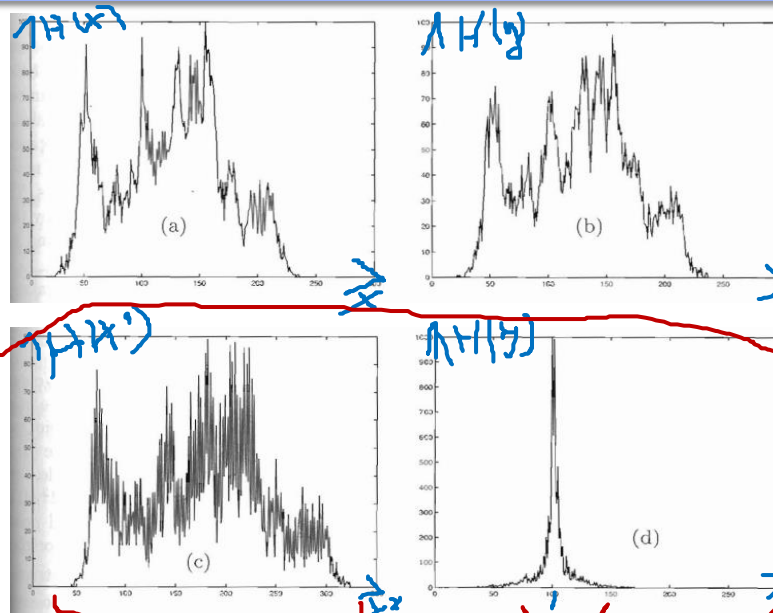
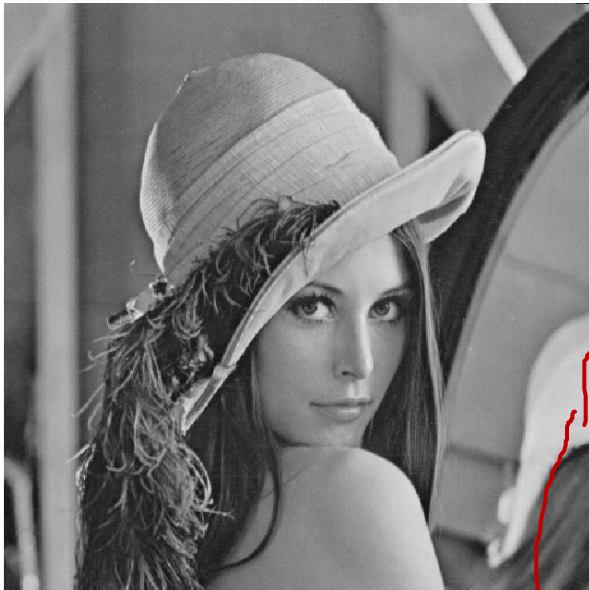
- o pereche va fi un punct in reprezentarea grafica x vs. y (vezi fig. a)
- în general, valorile x, y , sunt aproximativ egale pentru pixelii adiacenți
 - $y=x \rightarrow$ punctul e pe axa de 45°
 - $y \approx x \rightarrow$ punctul e in jurul axei de 45°
- aplicarea unei transformări
 - rotire cu 45° (vezi fig. b)
 - y devine aproape 0,
 - x nu se schimbă mult



$$(x^*, y^*) = (x, y) \begin{pmatrix} \cos 45^\circ & -\sin 45^\circ \\ \sin 45^\circ & \cos 45^\circ \end{pmatrix} = (x, y) \frac{1}{\sqrt{2}} \begin{pmatrix} 1 & -1 \\ 1 & 1 \end{pmatrix} = (x, y) \mathbf{R}$$

$$(x, y) = (x^*, y^*) \mathbf{R}^{-1} = (x^*, y^*) \mathbf{R}^T = (x^*, y^*) \frac{1}{\sqrt{2}} \begin{pmatrix} 1 & 1 \\ -1 & 1 \end{pmatrix}$$

Transformări de imagini – exemplificare



Distribuțiile pe x , y sunt aproximativ asemănătoare înainte de transformare

Distribuțiile pe x^* , y^* sunt DIFERITE după transformare – y^* aproximativ 0, scalare pe 101; x^* nu se modifică substanțial

Compresie:

- se transmit valorile obținute după transformare = coeficienții transformării
 - se pot transmite sub forma a doi vectori X , $Y \rightarrow$ rezultă șiruri lungi de zero
 - X – vectorul transformării intensităților de pe pozițiile impare
 - Y – vectorul transformării intensităților de pe pozițiile pare
 - după transformare - se pot adăuga alte metode de compresie
 - dacă se acceptă ~~compresie cu pierderi~~ – transformarea este urmată de cuantizare \Rightarrow valori mai mici
- Concentrarea energie într-o componenta
 - Face posibilă cuantizarea mai fină a vectorului X și mai puternică a lui Y

Transformări de imagini 1D/2D

- Majoritatea transformărilor de imagini = “generalizări” ale transformatei Fourier
=> reprezintă imaginea printr-o componenta de c.c. și mai multe componente de c.a.
- Semnal 1D → poate fi reprezentat prin serii de funcții ortogonale,
- O imagine → poate fi reprezentată printr-o serie de *funcții de bază* ortogonale,
 - numite *imagine de bază* set generat cu ajutorul unor matrici unitare.
- O transformare unitară a imaginii $U[M \times N]$ = o rotație a spațiului MN-dimensional,
 - definită de o matrice unitară de rotație A (de dimensiune $MN \times MN$)

$$A^{-1} = A^{*T}$$

1D → 2D

$$v_k = A u \quad \text{sau} \quad v(k) = \sum_{n=0}^{N-1} a(k,n) u(n), \quad 0 \leq k \leq N-1$$

1D

$$u = A^{*T} v \quad \text{sau} \quad u(n) = \sum_{k=0}^{N-1} a^{*}(n,k) v(k), \quad 0 \leq n \leq N-1$$

1D

2D

$$V = A U A^T \quad \text{sau} \quad v(k,l) = \sum_{m=0}^{N-1} \sum_{n=0}^{N-1} a_{k,l}(m,n) \cdot u(m,n), \quad 0 \leq k,l \leq N-1$$

$$U = A^{*T} V A^* \quad \text{sau} \quad u(m,n) = \sum_{k=0}^{N-1} \sum_{l=0}^{N-1} a_{k,l}^{*}(m,n) \cdot v(k,l), \quad 0 \leq k,l \leq N-1$$

Transformări de imagini 1D/2D

- Conservarea energiei**

- 1-D** $\|v\|^2 = \sum_{k=0}^{N-1} |v(k)|^2 = \sum_{n=0}^{N-1} |u(n)|^2 = \|u\|^2$

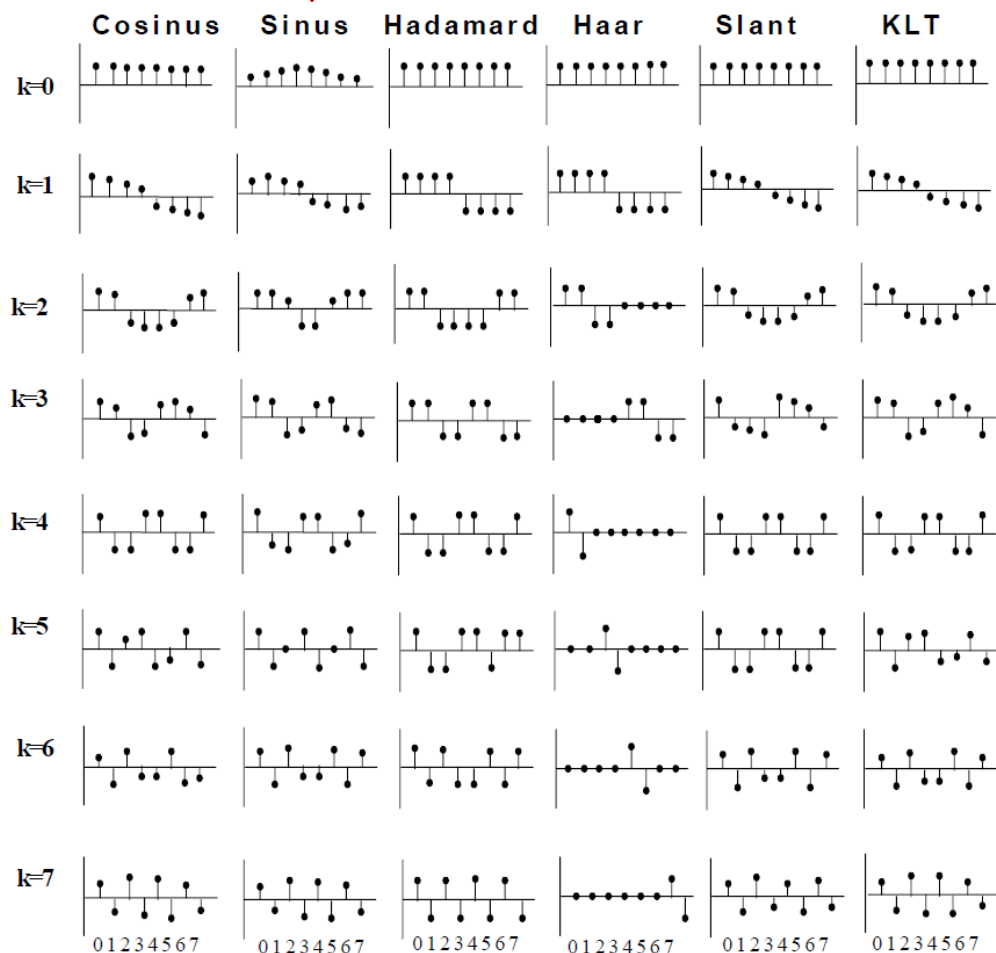
- 2-D** $\|V\|^2 = \sum_{k=0}^{N-1} \sum_{l=0}^{N-1} |v(k,l)|^2 = \sum_{m=0}^{N-1} \sum_{n=0}^{N-1} |u(m,n)|^2 = \|U\|^2$

- Compactarea energiei și varianța coeficienților**

- Transformările unitare au tendința de împachetare (compactare) a unei importante părți a energiei imaginii într-un număr relativ mic de coeficienți ai transformatei imaginii.
- Energia secvenței de intrare **U** este egal distribuită - energia coeficienților **V** tinde să fie inegal distribuită
- Energia totală se conservă,
 - rezultă că o mare parte a coeficienților vor conține o cantitate foarte mică de energie.

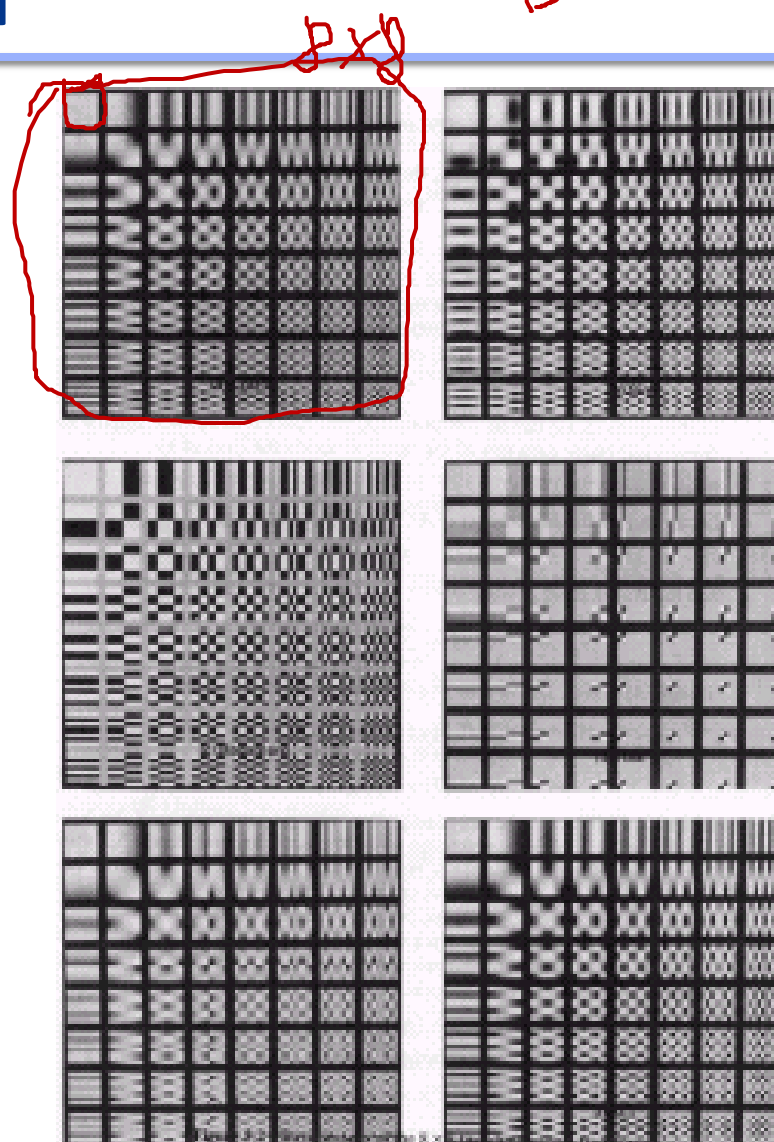
Funcții și imagini de bază

1D



Funcții de baza (vectori de baza)

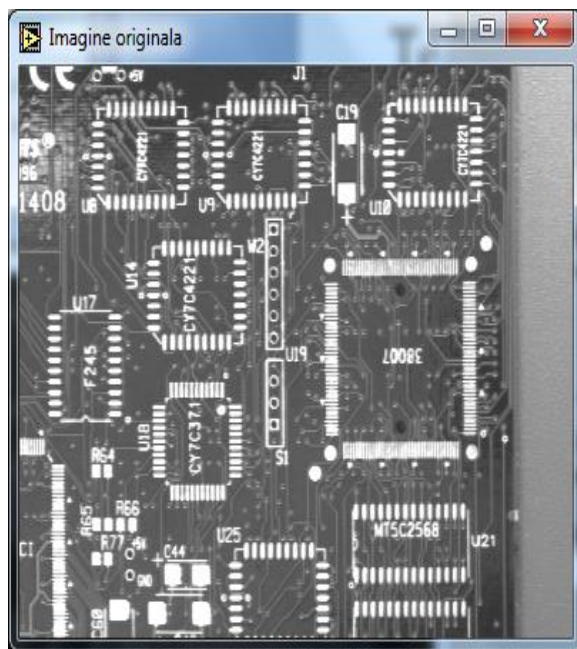
2D



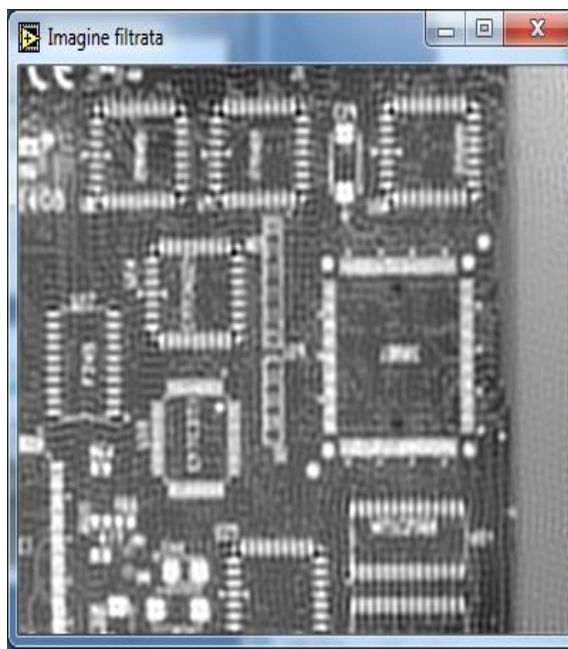
Imagini de baza (ex.): DCT, Haar,

Transformări ortogonale

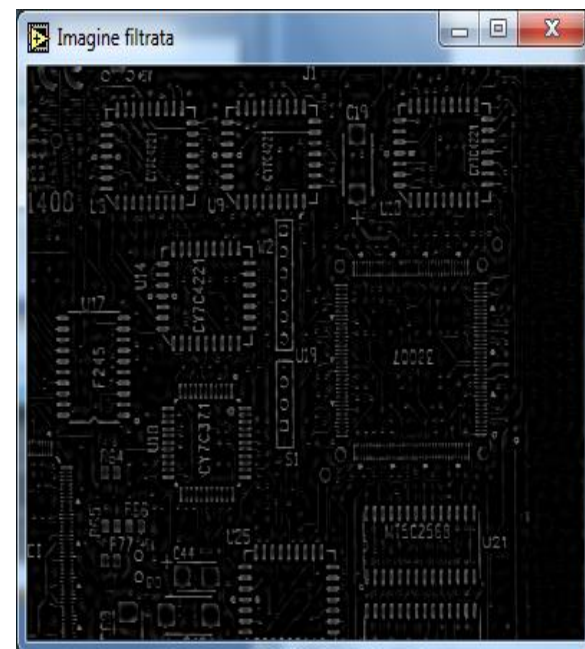
- Frecvență
 - Joase – caracteristicile importante din imagine
 - Înalte – detalii mai puțin importante



Original



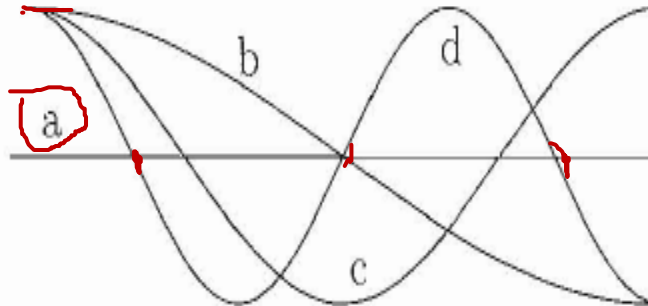
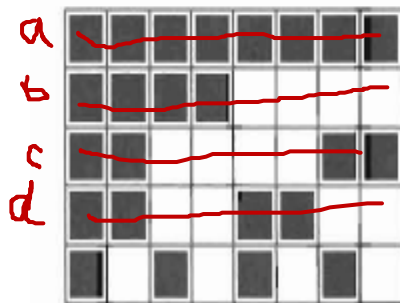
FTJ



FTS

Transformări ortogonale

- Reducerea redundanței imaginii
- Izolarea frecvențelor
 - Identificarea părților mai puțin importante din imagine prin izolarea diferitelor frecvențe (benzi de frecvență) din imagine
 - Se pot aplica grade de cuantizare diferită pentru diversele benzi de frecvență
- Transformările implementate practic
 - Rapide
 - Ușor de implementat
 - În general se folosesc transformările liniare



Frecvența orizontală

Transformări ortogonale

- Transformări liniare:

$$\begin{pmatrix} v_0 \\ v_1 \\ v_2 \\ v_3 \end{pmatrix} = \begin{pmatrix} a_{00} & a_{01} & a_{02} & a_{03} \\ a_{10} & a_{11} & a_{12} & a_{13} \\ a_{20} & a_{21} & a_{22} & a_{23} \\ a_{30} & a_{31} & a_{32} & a_{33} \end{pmatrix} \begin{pmatrix} u_0 \\ u_1 \\ u_2 \\ u_3 \end{pmatrix}$$

- Forma matricială:

$$\mathbf{v} = \mathbf{A}\mathbf{u}, \text{ sau } v(k) = \sum_{n=0}^{N-1} a(k,n)u(n), \quad 0 \leq k \leq N-1$$

- a_{kn} (fiecare rând-vector de bază) se calculează în funcție de tipul transformatei și trebuie să:
 - reducă redundanța
 - izoleze frecvențele
- u_n = sunt valori pozitive și corelate (intensități)
- v_k = suma ponderată a tuturor intensităților u_n (care sunt transformate)
 - primul v_k va avea o valoare mai mare, a_{kn} având doar valori pozitive
 - ceilalți coeficienți v_k vor avea valori mai mici dacă a_{kn} vor fi pozitivi și negativi

Transformări ortogonale

- Pentru a putea izola diferitele frecvențe
 - vectorii de bază trebuie să fie ortogonali adică matricea A este ortogonală (Ortogonală \leftrightarrow inversa ei = cu transpusa)

$$\mathbf{A}^{-1} = \mathbf{A}^{\top}$$

- Exemplu de \mathbf{A} : număr egal de 1, -1
 - Primul rând va fi numai de 1
 - Rândul 2 va avea o singură schimbare de semn
 - Rândul 3 va avea 2 schimbări de semn ș.a.m.d.

$$\mathbf{A} = \frac{1}{2} \begin{pmatrix} 1 & 1 & 1 & 1 \\ 1 & 1 & -1 & -1 \\ 1 & -1 & -1 & 1 \\ 1 & -1 & 1 & -1 \end{pmatrix}$$

=> Transformarea Walsh-Hadamard:

- Pentru conservarea energiei
 - necesar factorul de scală $\frac{1}{2}$

$$\mathbf{A}^{-1} = \mathbf{A}$$

Transformări ortogonale – conservarea energiei

- Conservarea energiei

$$\mathbf{E}(\mathbf{v}) = \|\mathbf{v}\|^2 = \sum_{k=0}^{N-1} |v(k)|^2 = \sum_{n=0}^{N-1} |u(n)|^2 = \|\mathbf{u}\|^2 = \mathbf{E}(\mathbf{u})$$

$$E(u) = 5^2 + 6^2 + 7^2 + 8^2 = 174$$

$$E(v) = 13^2 + (-2)^2 + 0^2 + (-1)^2 = 174$$

$$\mathbf{A} = \frac{1}{2} \begin{bmatrix} 1 & 1 & 1 & 1 \\ 1 & 1 & -1 & -1 \\ 1 & -1 & -1 & 1 \\ 1 & -1 & 1 & -1 \end{bmatrix}$$

- Exemplu 1: $\mathbf{u} = [5 \ 6 \ 7 \ 8]^T \Rightarrow \mathbf{v} = [13 \ -2 \ 0 \ -1]^T$

$$\mathbf{E}(\mathbf{v}) = \mathbf{E}(\mathbf{u}) = 174$$

compactare energie in \mathbf{v} prima valoare 97% din energie!!!

- in \mathbf{u} primul element 14% din energie

$$5 + 6 + 7 + 8 = 26$$

$$\Rightarrow v(0) = 13$$

- Exemplu 2:

$$3 \cdot 187^2 + 2 \cdot (190)^2 + 2 \cdot (190)^2 = 281280$$

$$\mathbf{u} = [186 \ 184 \ 187 \ 187 \ 189 \ 187 \ 190 \ 190]^T$$

$$\mathbf{v} = [530,33 \ -4,24 \ 0 \ -2,83 \ 1,41 \ 0 \ 0 \ 1,41]^T$$

$$\mathbf{E}(\mathbf{v}) = \mathbf{E}(\mathbf{u}) = 281280$$

Transformări ortogonale

- Doar prin transformare NU obținem compresie!!!
- ⇒ este necesară **cuantizarea** pentru a avea **compresie**
 - rezultatul transformării inverse va fi **diferit** de original
 - chiar dacă sunt **diferite**, matricile sunt foarte apropiate de original
 - ⇒ **compresie cu pierderi**
- Pentru a obține un raport de compresie ridicat
 - algoritmi succesivi, transformări complexe

Cuantizare, exemplificare

$$\mathbf{u} = [186 \quad 184 \quad 187 \quad 187 \quad 189 \quad 187 \quad 190 \quad 190]^T$$

- Fie rotunjirea la valori întregi

$$\mathbf{v} = [530 \quad -4 \quad 0 \quad -3 \quad 1 \quad 0 \quad 0 \quad 1]^T$$

$$\Rightarrow \mathbf{u}' = [185,62 \quad 184,2 \quad 187,03 \quad 187,03 \quad 188,44 \quad 187,03 \quad 189,86 \quad 189,86]^T$$

$$\Rightarrow \mathbf{u}' = [186 \quad 184 \quad 187 \quad 187 \quad 188 \quad 187 \quad 190 \quad 190]^T$$

- Fie trunchierea ($|v_i| < 2$ atunci zero)

$$\mathbf{v} = [530,33 \quad -4,24 \quad 0 \quad -2,83 \quad 0 \quad 0 \quad 0 \quad 0]^T$$

$$\Rightarrow \mathbf{u}' = [185 \quad 185 \quad 187 \quad 187 \quad 187,99 \quad 187,99 \quad 189,99 \quad 189,99]^T$$

$$\Rightarrow \mathbf{u}' = [185 \quad 185 \quad 187 \quad 187 \quad 188 \quad 188 \quad 190 \quad 190]^T$$

Transformări bidimensionale

2D

- Se aplică 1D pe linii

4x4 $U = \begin{pmatrix} 5 & 6 & 7 & 4 \\ 6 & 5 & 7 & 5 \\ 7 & 7 & 6 & 6 \\ 8 & 8 & 8 & 8 \end{pmatrix};$

$$V_1 = A \cdot U = \begin{pmatrix} 1 & 1 & 1 & 1 \\ 1 & 1 & -1 & -1 \\ 1 & -1 & -1 & 1 \\ 1 & -1 & 1 & -1 \end{pmatrix} \cdot \begin{pmatrix} 5 & 6 & 7 & 4 \\ 6 & 5 & 7 & 5 \\ 7 & 7 & 6 & 6 \\ 8 & 8 & 8 & 8 \end{pmatrix} = \begin{pmatrix} 26 & 26 & 28 & 23 \\ -4 & -4 & 0 & -5 \\ 0 & 2 & 2 & 1 \\ -2 & 0 & -2 & -3 \end{pmatrix}$$

- Mai avem corelație între elementele de pe linii
 - se aplică 1D pe coloane, W- simetrică deci

$$A^T = A$$

$$V = V_1 \cdot A^T = A \cdot U \cdot A^T = A \cdot U \cdot A$$

$$V = V_1 \cdot A^T = \begin{pmatrix} 26 & 26 & 28 & 23 \\ -4 & -4 & 0 & -5 \\ 0 & 2 & 2 & 1 \\ -2 & 0 & -2 & -3 \end{pmatrix} \cdot \begin{pmatrix} 1 & 1 & 1 & 1 \\ 1 & 1 & -1 & -1 \\ 1 & -1 & -1 & 1 \\ 1 & -1 & 1 & -1 \end{pmatrix} = \begin{pmatrix} 103 & 1 & -5 & 5 \\ -13 & -3 & -5 & 5 \\ 5 & -1 & -3 & -1 \\ -7 & 3 & -3 & -1 \end{pmatrix}$$

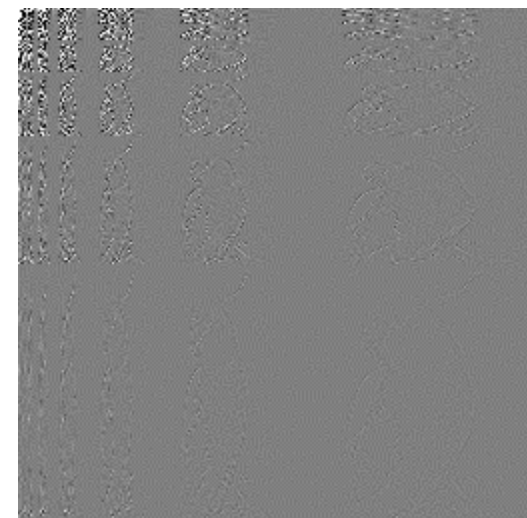
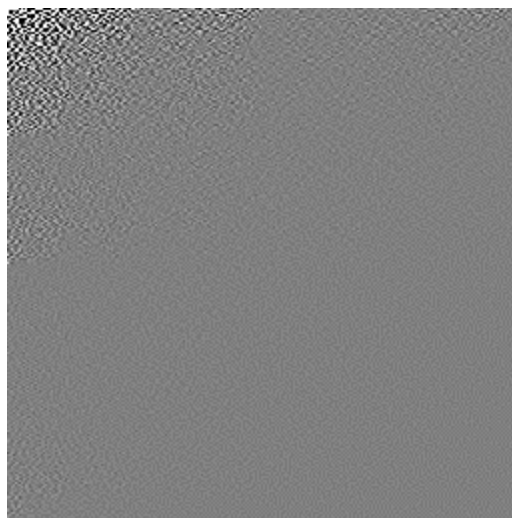
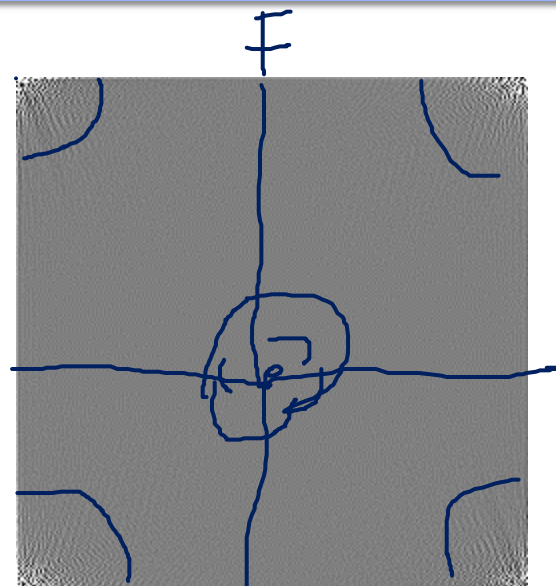
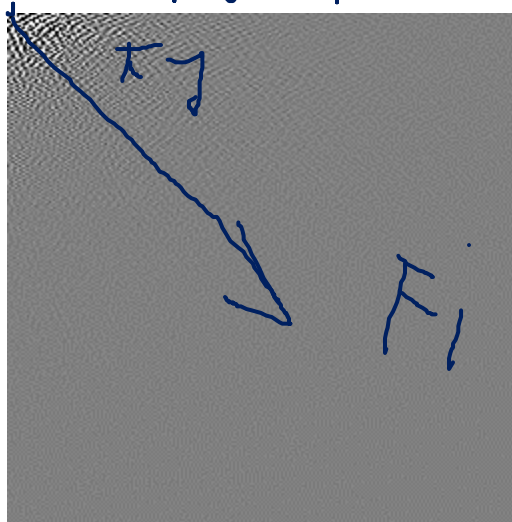
- V** este decorelată și elementul din stânga sus – este dominant
- Colțul din stânga sus conține elemente importante
- Compresie – dacă se aplică cuantizare
- Se pot elimina în special elementele din dreapta-jos – elementele de înaltă frecvență

Transformări bidimensionale

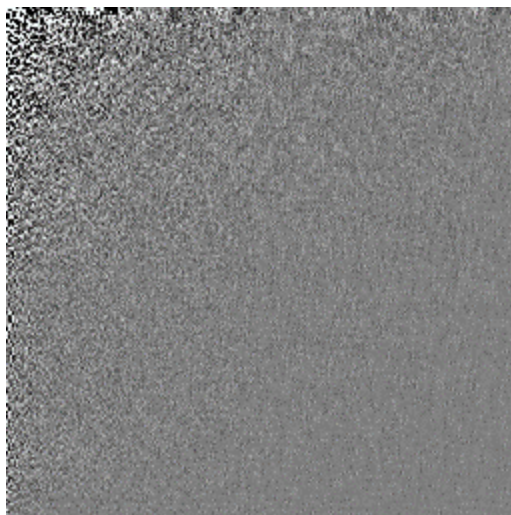
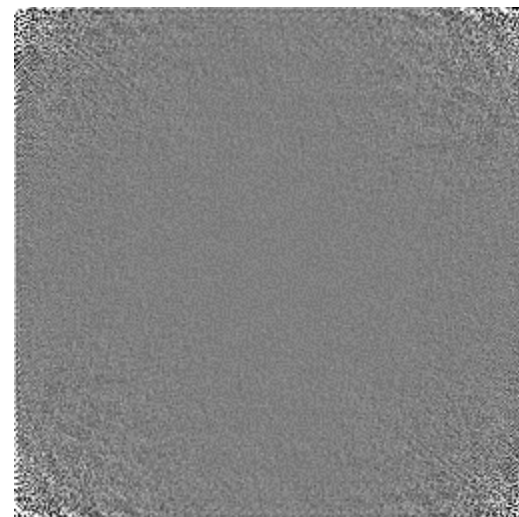
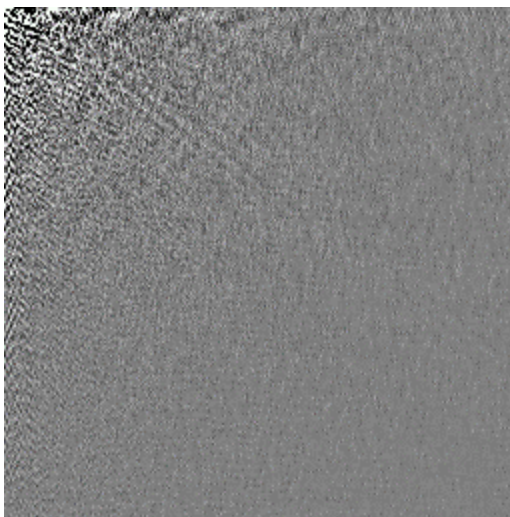
- Transformarea **DFT**
 - rapida, foarte utilizata in prelucrarea digitala a semnalelor, convolutie, filtrare digitala, analiza
 - foarte buna împachetare a energiei, dar necesita calcule cu valori complexe
- Transformata **Walsh-Hadamard**
 - este mai rapida decat transformările sinusoidale (nu necesita inmultiri)
 - se foloseste pentru implementarea hard a algoritmilor de PDI
 - usor de simulat dar dificil de implementat
 - se aplica in compresia de imagini, filtrare si proiectarea de codoare
 - prezinta o buna compactare de energie
- Transformata **Haar**
 - transformare foarte rapida (cea mai simplă dintre transformatele Wavelet)
 - se foloseste in extragerea de caracteristici, codarea de imagini si in aplicatii de analiza a imaginilor
 - compactarea de energie este medie.
- Transformata **Karhunen-Loeve**
 - Cea mai bună variantă teoretică – compactarea energiei
 - Coeficienții nu sunt ficși – depind de datele de la intrare; calcule complicate; coeficienții trebuie incluși în șirul codat (necesari la decodare)
 - nu prezinta un algoritm rapid
 - se foloseste mai ales in cazul vectorilor de dimensiuni mici si pentru evaluarea performantelor altor transformari
- Transformata **Cosinus Discretă** (DCT)
 - Aproape la fel de eficientă ca și KLT
 - Folosește vectori de bază ficși
 - transformare rapida, necesita operatiuni reale
 - alternativa optima la transformarii K-L pentru imagini inalt corelate
 - utilizata in proiectarea codoarelor prin transformari si a filtrelor Wiener.
 - o compactare a energiei excelenta

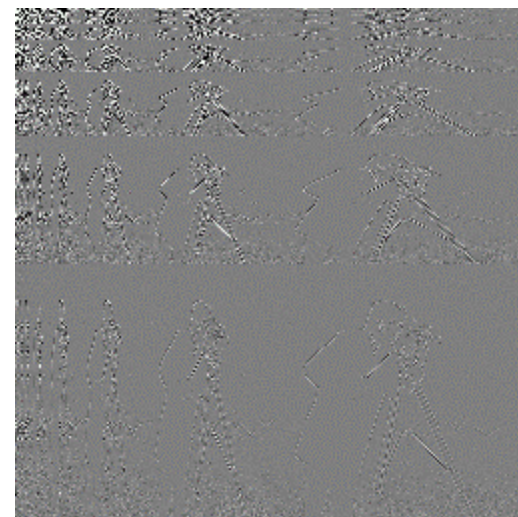
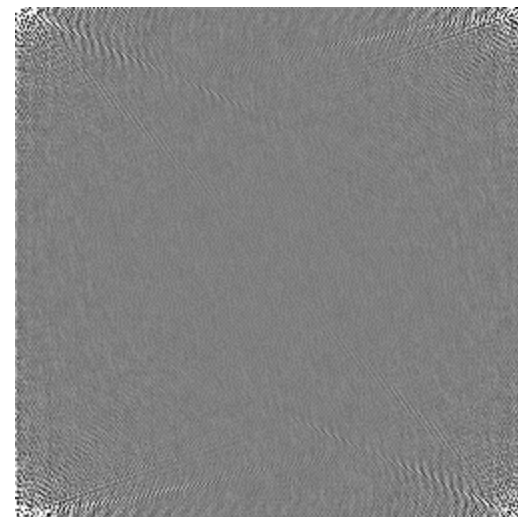
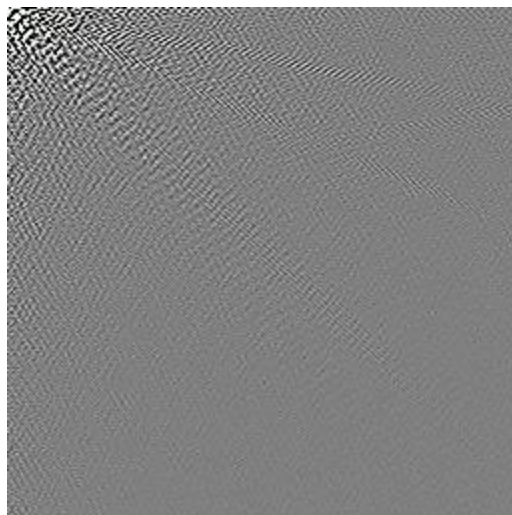


~~FFT~~ DCT



H₀





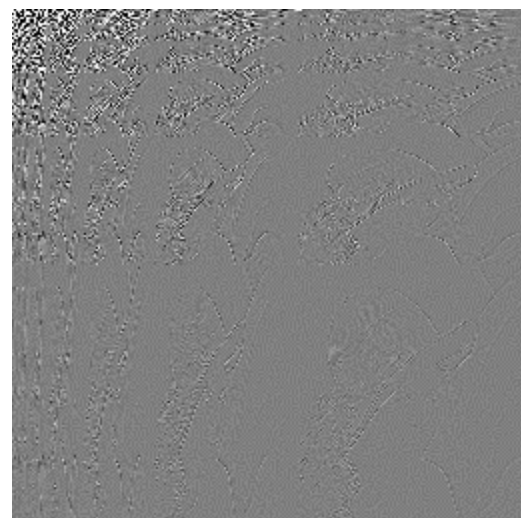
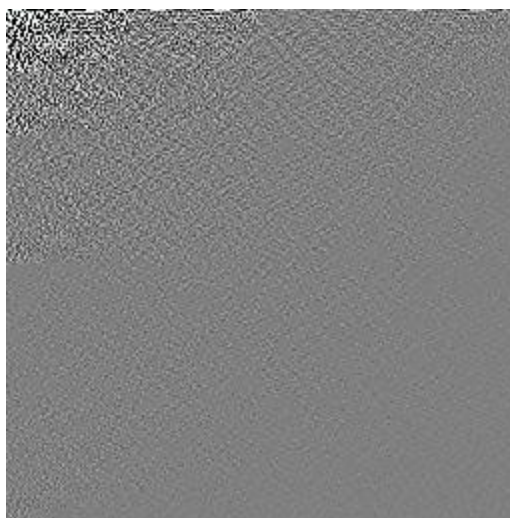
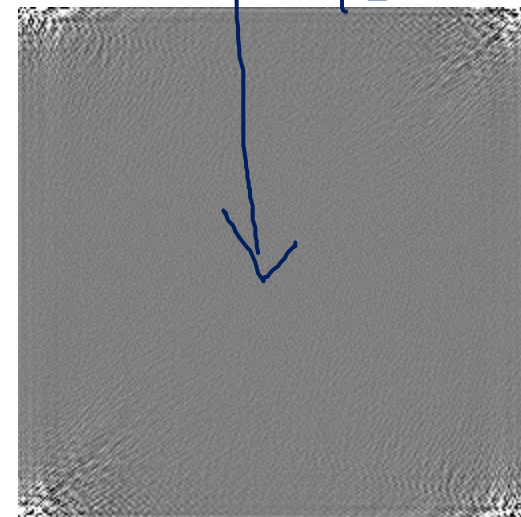
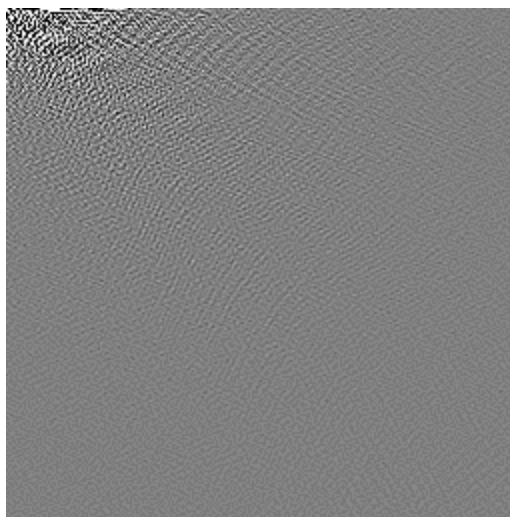
$$\left[\begin{array}{c|c} -X & X \end{array} \right] \rightarrow \left[\begin{array}{c|c} 0 & 128 \end{array} \right]$$



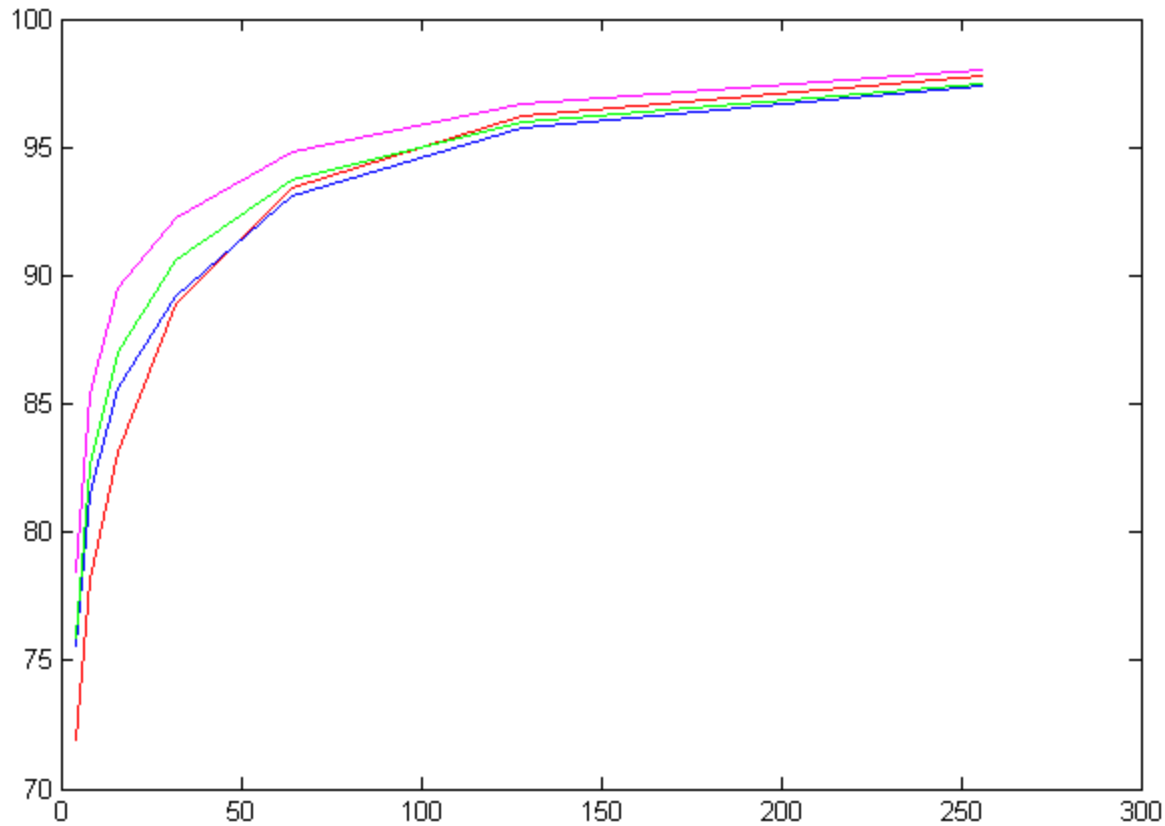
$(0, 255)$



$$\left[\begin{array}{c|c} -X & +X \end{array} \right]$$

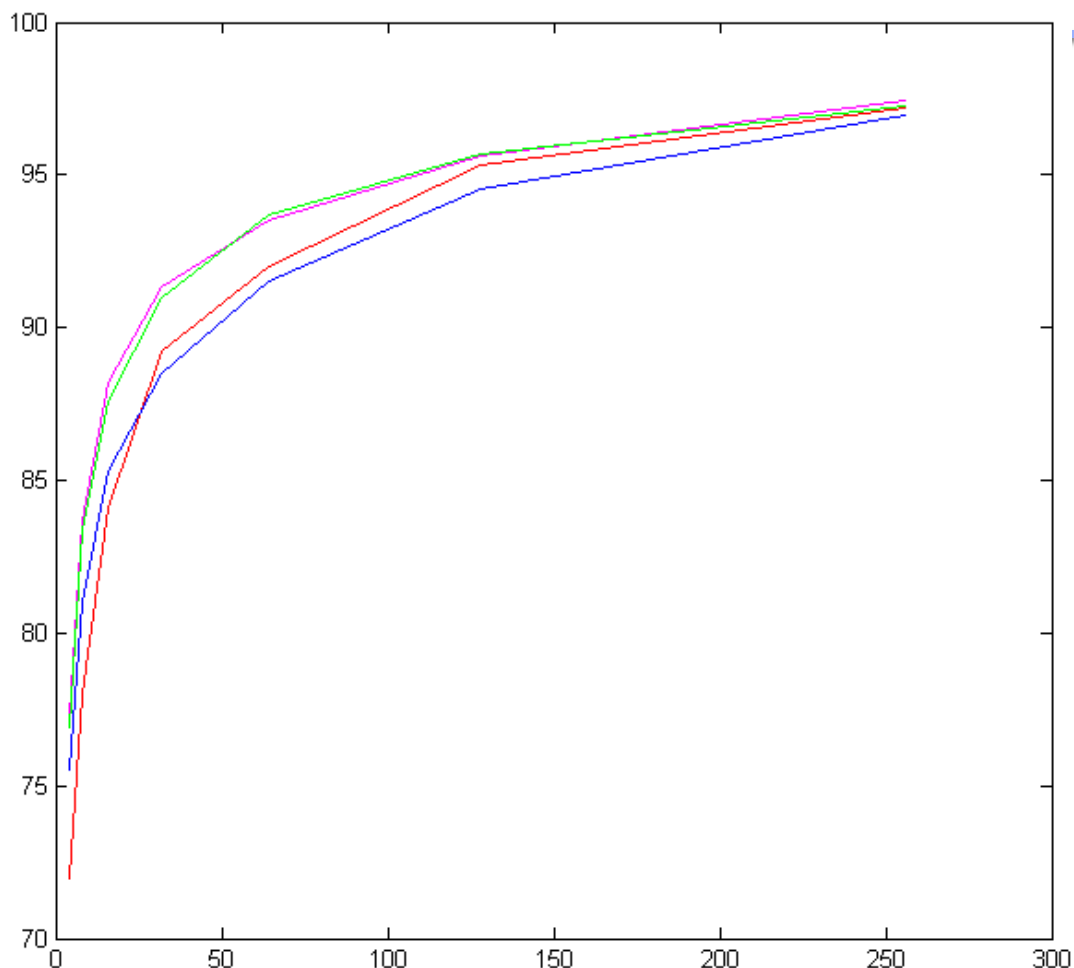


Lena - dimensiune bloc/ compactare energie



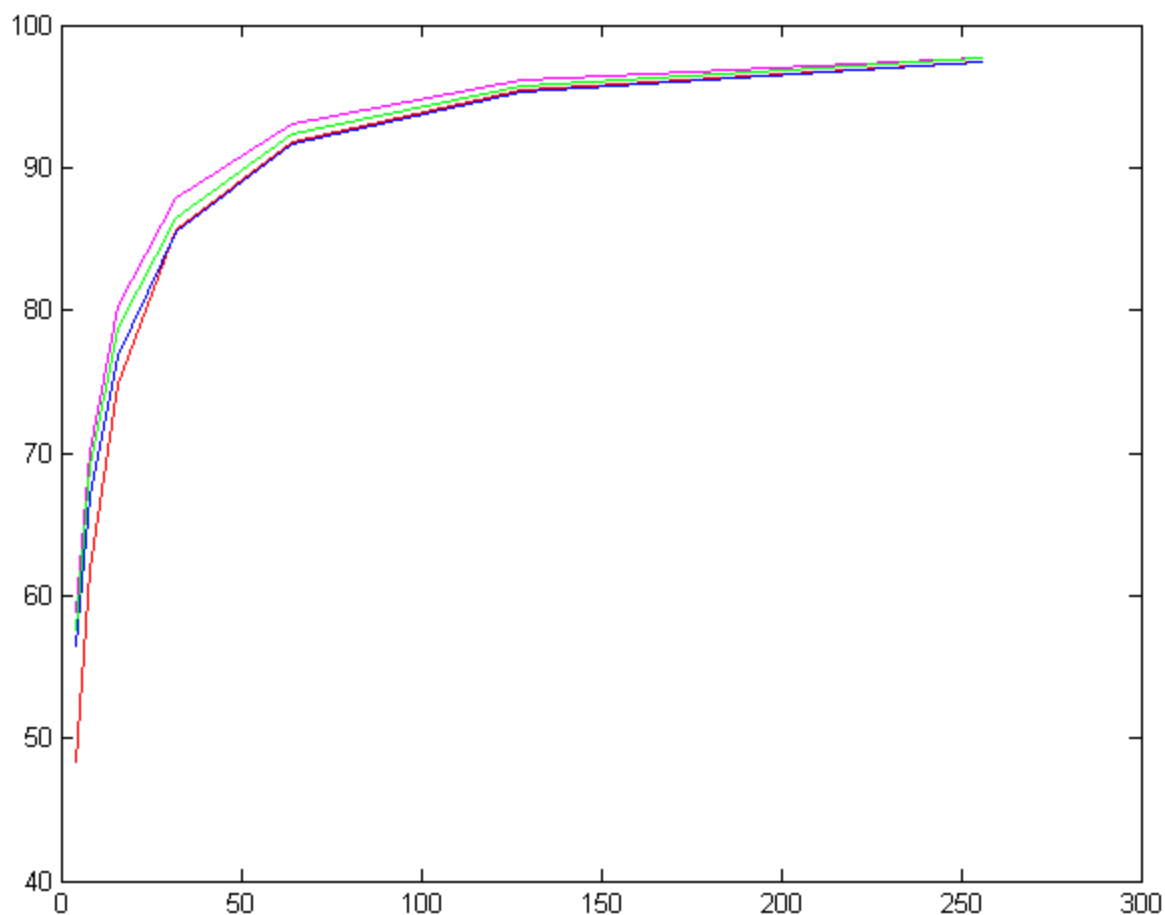
— BISz 256:24 dB BISz 128:25 dB BISz 64:27 dB BISz 32:29 dB BISz 16:32 dB BISz 8:34 dB BISz 4:37 dB DFT
 — BISz 256:23 dB BISz 128:25 dB BISz 64:27 dB BISz 32:29 dB BISz 16:32 dB BISz 8:35 dB BISz 4:38 dB Hadamard
 — BISz 256:25 dB BISz 128:26 dB BISz 64:28 dB BISz 32:31 dB BISz 16:33 dB BISz 8:36 dB BISz 4:38 dB DCT
 — BISz 256:25 dB BISz 128:27 dB BISz 64:28 dB BISz 32:31 dB BISz 16:33 dB BISz 8:35 dB BISz 4:38 dB Haar

Cameraman



— BISz 256:23 dB BISz 128:24 dB BISz 64:27 dB BISz 32:29 dB BISz 16:32 dB BISz 8:35 dB BISz 4:39 dB DFT
 — BISz 256:22 dB BISz 128:24 dB BISz 64:26 dB BISz 32:29 dB BISz 16:32 dB BISz 8:36 dB BISz 4:39 dB Hadamard
 — BISz 256:23 dB BISz 128:25 dB BISz 64:27 dB BISz 32:30 dB BISz 16:33 dB BISz 8:36 dB BISz 4:39 dB DCT
 — BISz 256:25 dB BISz 128:27 dB BISz 64:29 dB BISz 32:31 dB BISz 16:34 dB BISz 8:36 dB BISz 4:39 dB Haar

Bridge



— BISz 256:22 dB BISz 128:24 dB BISz 64:25 dB BISz 32:27 dB BISz 16:29 dB BISz 8:32 dB BISz 4:36 dB DFT
 — BISz 256:22 dB BISz 128:24 dB BISz 64:25 dB BISz 32:27 dB BISz 16:30 dB BISz 8:33 dB BISz 4:36 dB Hadamard
 — BISz 256:23 dB BISz 128:24 dB BISz 64:26 dB BISz 32:28 dB BISz 16:30 dB BISz 8:33 dB BISz 4:36 dB DCT
 — BISz 256:23 dB BISz 128:24 dB BISz 64:26 dB BISz 32:28 dB BISz 16:30 dB BISz 8:33 dB BISz 4:36 dB Haar

Transformata Cosinus Discreta (DCT)

- DCT – Discrete Cosine Transform
- intrările** – pixeli, eșantioane audio etc.,
 - valori întregi
- ieșirile** - sunt coeficienții DCT
 - primul coeficientul DC +
 - restul sunt coeficienții AC
 - valori reale pozitive și negative
- Calcul greoaie – timp de calcul mari – necesitatea alegerii DCT rapide
- Avantaj - concentrează energia într-un număr mic de coeficienți
 - cei mai mulți coeficienți sunt zero sau foarte apropiați de zero
- În aplicații practice datele sunt împărțite în seturi de n valori
 - în general n=8

$$v(k,l) = \alpha(k) \cdot \alpha(l) \sum_{m=0}^{N-1} \sum_{n=0}^{N-1} u(m,n) \cdot \cos\left[\frac{(2m+1)k\pi}{2N}\right] \cos\left[\frac{(2n+1)l\pi}{2N}\right]$$

$$u(m,n) = \sum_{k=0}^{N-1} \sum_{l=0}^{N-1} \alpha(k) \cdot \alpha(l) \cdot v(k,l) \cdot \cos\left[\frac{(2m+1)k\pi}{2N}\right] \cos\left[\frac{(2n+1)l\pi}{2N}\right]$$

$$\mathbf{V} = \mathbf{C} \mathbf{U} \mathbf{C}^T$$

$$\mathbf{U} = \mathbf{C}^T \mathbf{V} \mathbf{C}$$

$$c_{k,m} = \alpha(k) \cdot \cos\left[\frac{(2m+1)k\pi}{2N}\right]$$

$$\alpha(0) = \sqrt{\frac{1}{N}} \text{ si}$$

$$\alpha(k) = \sqrt{\frac{2}{N}} \text{ pentru } 1 \leq k \leq N$$

Obținerea matricei DCT

$1D \rightarrow C$

- Se selectează N unghiuri

$$m = 0, N$$

$$\theta_m = \frac{(2m + 1)\pi}{2N}$$

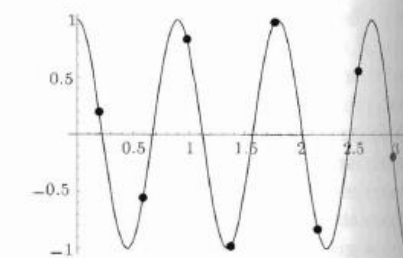
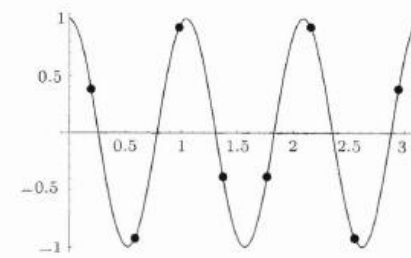
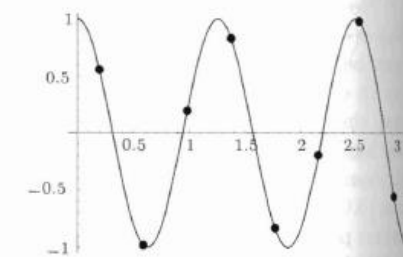
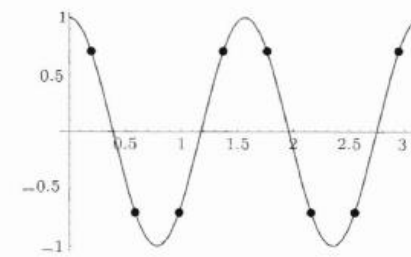
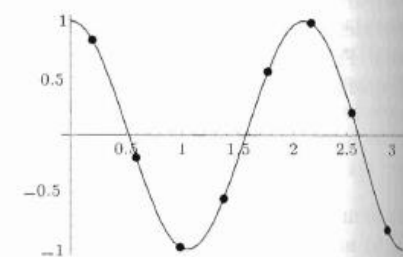
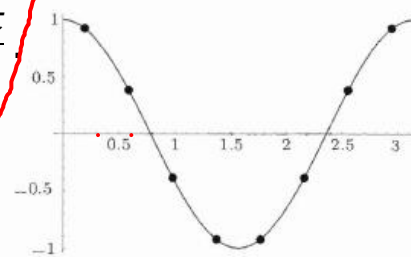
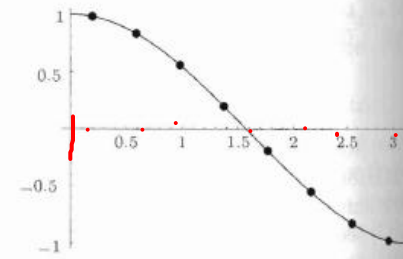
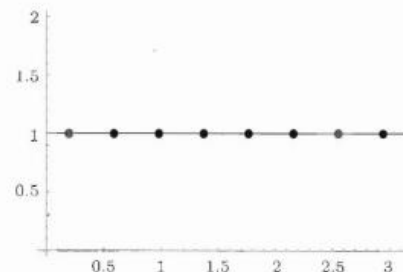
N=8:

$$\theta_m = \left\{ \frac{\pi}{16}, \frac{3\pi}{16}, \frac{5\pi}{16}, \frac{7\pi}{16}, \frac{9\pi}{16}, \frac{11\pi}{16}, \frac{13\pi}{16}, \frac{15\pi}{16} \right\}$$

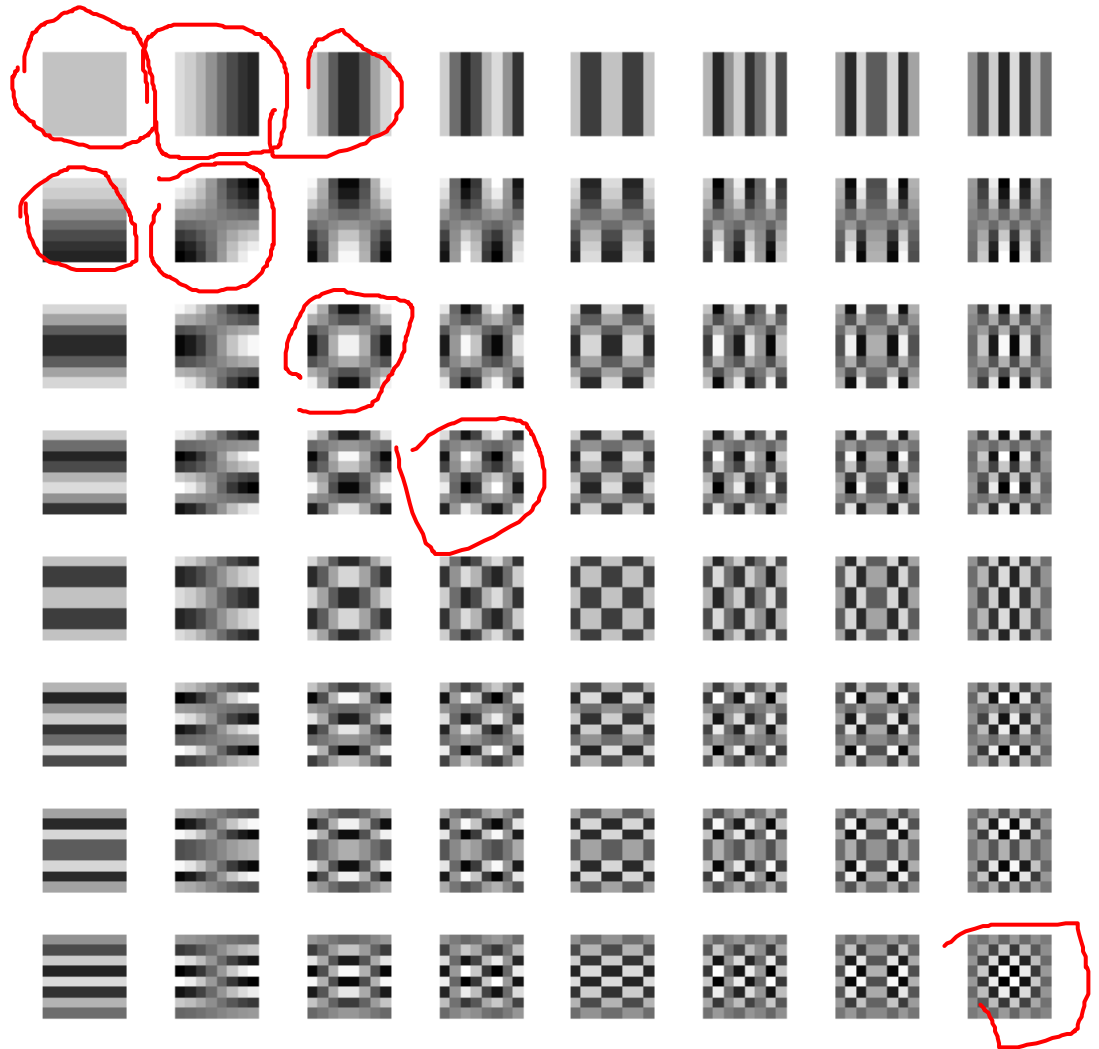
- Se calculează vectorii $\cos(k\theta_m)$
- Se normalizează fiecare vector și se creează **C** matricea coeficienților DCT

$$c_{k,m} = \alpha(k) \cdot \cos(k\theta_m)$$

$$\alpha(0) = \sqrt{\frac{1}{N}} \quad \text{si} \quad \alpha(k) = \sqrt{\frac{2}{N}} \quad \text{pentru} \quad 1 \leq k \leq N$$



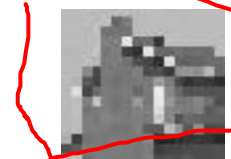
Imagini de baza DCT



Imagine originala

$$\begin{array}{c} \text{Original Image} \end{array} = \begin{array}{c} \cancel{V(1,1)} \end{array} + \begin{array}{c} \cancel{V(9,9)} \end{array}$$

Imagine originala



$$= V(1,3) + V(1,5) + V(1,7) + V(1,9)$$

$$+ V(1,13) + V(1,15) + V(2,1) + V(2,9) + V(3,1) + V(3,5)$$

$$+ V(5,1) + V(5,2) + V(5,6) + V(5,8) + \dots + V(16,15)$$

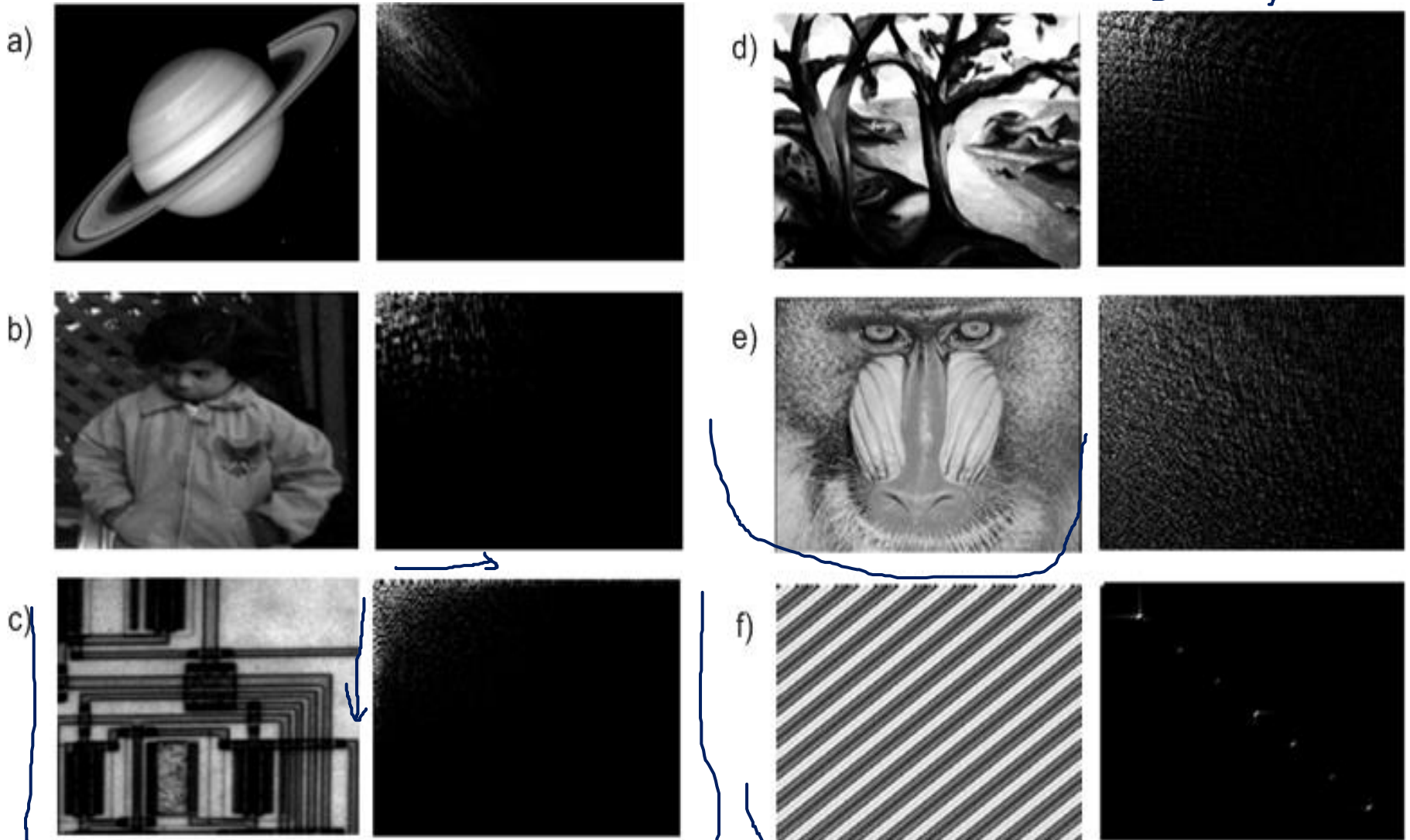
Imagine aproximata



Daca se retin doar 50% din coeficienti



DCT Exemple cu privire la proprietatea de compactare a energiei pentru imagini standard



Exemplu DCT și IDCT ... cuantizarea!

Imagine: $\mathbf{u} = [186 \quad 184 \quad 187 \quad 187 \quad 189 \quad 187 \quad 190 \quad 190]^T$

Coeficienții DCT:

$$\mathbf{v} = [530.33 \quad -4.65 \quad 0 \quad -0.52 \quad 1.14 \quad 0.99 \quad 0 \quad 2.25]^T$$

Dacă se păstrează toți coeficienții se poate reface perfect setul de date inițial (fără erori)

Coeficienții Hadamard	530,33	-4,24	0	-2,83	1,41	0	0	1,41
Coeficienții DCT	530,33	-4,65	0	-0,52	1,41	1	0	2,26
Hadamard Cuantizare 1	530	-4	0	-3	1	0	0	1
Hadamard Cuantizare 2	530	-4	0	-3	0	0	0	0
DCT Cuantizare 1	530	-5	0	-1	1	1	0	2
DCT Cuantizare 2	530	-5	0	0	0	0	0	2

Imagine refăcută							
186	184	187	187	189	187	190	190
186	184	187	187	188	187	190	190
185	185	187	187	188	188	190	190
185	184	187	187	189	187	190	190
185	185	187	186	189	188	190	190

Exemple DCT-2D corelat



$U=$

159	163	161	161	162	159	161	161
159	161	161	159	161	159	161	161
162	162	159	158	159	162	162	158
159	161	158	156	161	162	162	161
156	159	161	158	161	162	162	161
161	159	162	158	158	161	161	159
162	159	161	158	158	158	161	158
158	158	159	159	158	159	161	158

$V=$

1279	-1,88	1,915	1,244	-4,87	-0,15	-0,93	2,757
4,271	-0,07	-0,35	-0,44	0,638	-3,74	-2,33	-0,6
-0,76	2,946	-0,87	-2,71	2,146	1,652	-1,67	-0,05
1,737	0,208	-1,23	-2,83	0,383	-0,21	1,213	1,05
-0,12	-3,86	-2,08	-0,93	0,125	-2,44	-1,44	-0,5
0,559	2,261	2,14	1,882	0,381	0,093	-0,74	-0,02
0,45	1,282	0,08	1,485	-1,02	1,141	0,369	-1,65
0,34	0,486	-0,89	-0,03	-0,49	0,75	-0,4	-0,2

$Vc=$

1279	0	0	0	0	0	0	0
0	0	0	0	0	0	0	0
0	0	0	0	0	0	0	0
0	0	0	0	0	0	0	0
0	0	0	0	0	0	0	0
0	0	0	0	0	0	0	0
0	0	0	0	0	0	0	0
0	0	0	0	0	0	0	0

$Ur=$

160	160	160	160	160	160	160	160
160	160	160	160	160	160	160	160
160	160	160	160	160	160	160	160
160	160	160	160	160	160	160	160
160	160	160	160	160	160	160	160
160	160	160	160	160	160	160	160
160	160	160	160	160	160	160	160
160	160	160	160	160	160	160	160

$D=$

1	0	0	0	0	1	0	0
1	0	0	1	0	1	0	0
0	0	1	2	1	0	0	2
1	0	2	4	0	0	0	0
4	1	0	2	0	0	0	0
0	1	0	2	2	0	0	1
0	1	0	2	2	2	0	2
2	2	1	1	2	1	0	2

$Vc'=$

1279	0	0	0	-5	0	0	0
4	0	0	0	0	0	0	0
0	0	0	0	0	0	0	0
0	0	0	0	0	0	0	0
0	0	0	0	0	0	0	0
0	0	0	0	0	0	0	0
0	0	0	0	0	0	0	0
0	0	0	0	0	0	0	0

$Ur'=$

160	161	161	160	160	161	161	160
160	161	161	160	160	161	161	160
160	161	161	160	160	161	161	160
159	161	161	159	159	161	161	159
159	160	160	159	159	160	160	159
159	160	160	159	159	160	160	159
159	160	160	159	159	160	160	159
159	160	160	159	159	160	160	159

$D'=$

1	0	0	0	0	2	0	0
1	0	0	1	0	2	0	0
0	0	2	2	1	0	0	2
0	0	3	3	0	0	0	0
3	1	0	1	0	0	0	0
0	1	0	1	1	0	0	0
0	1	0	1	1	2	0	1
1	2	1	0	1	1	0	1

Bloc cu energie mare



$U=$

116	121	120	133	159	172	182	186
114	107	103	130	156	168	182	187
106	99	93	114	141	158	175	176
106	99	91	98	126	144	162	161
103	98	91	88	109	131	142	142
110	107	99	81	88	119	120	113
137	137	124	98	81	100	107	99
142	126	109	103	91	92	109	109

$V=$

986,3	-112	61,55	29,15	-10,5	1,60	-4,93	0,79
117,2	-127	-23,8	14,67	16,93	-8,82	-5,84	2,52
38,1	43,9	-5,61	-12,8	6,40	3,07	-3,19	-2,78
-11	10,01	-3,91	-1,98	-17	-4,77	8,36	-1,08
4	-7,37	2,10	-0,48	6,25	-2,32	-2,76	4,05
4,44	17,39	1,17	-5,06	-10,4	-0,44	0,87	0,17
-9,29	-9,73	-0,69	3,92	-0,22	-0,71	1,10	0,19
3,375	4,23	-0,74	-3,84	-1,25	-0,13	-0,42	-0,52

$V_c=$

986	-112	62	29	-10	0	0	0
117	-127	-24	15	17	0	0	0
38	44	0	-13	0	0	0	0
-11	10	0	0	-17	0	0	0
0	0	0	0	0	0	0	0
0	17	0	0	-10	0	0	0
0	0	0	0	0	0	0	0
0	0	0	0	0	0	0	0

$U_r=$

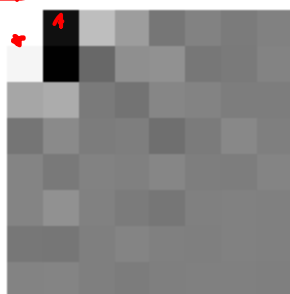
120	121	122	131	152	174	183	182
113	102	105	128	154	170	182	192
109	96	96	117	143	160	172	180
105	96	91	101	124	146	156	157
102	96	88	90	108	131	142	140
114	113	100	85	92	114	123	116
133	133	116	90	85	100	108	101
141	132	116	99	90	94	103	110

$D=$

4	0	2	0	0	2	1	0
0	0	2	0	0	2	0	5
3	0	3	3	2	2	0	4
0	0	0	3	0	2	0	0
0	0	0	2	0	0	0	0
4	6	1	4	4	0	3	3
0	0	0	0	4	0	1	2
0	6	7	0	0	2	0	1



Imagine originală



Imagine DCT

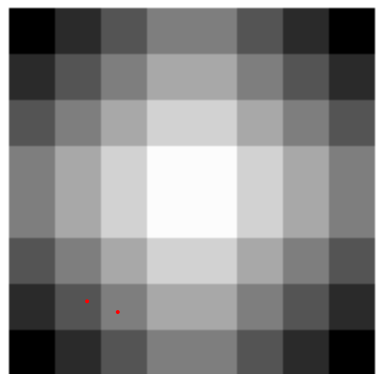


Imagine refăcută



DCT Cuantizati

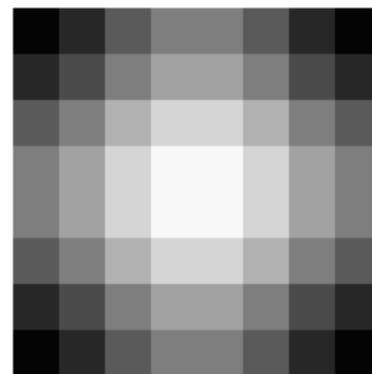
Exemple DCT-2D nivele de gri-binare



Imagine originală



Imagine DCT



Imagine refăcută



DCT Cuantizați

$V=$

240	0	-89,22	0	0	0	-6,34	0
0	0	0	0	0	0	0	0
-89,22	0	0	0	0	0	0	0
0	0	0	0	0	0	0	0
0	0	0	0	0	0	0	0
0	0	0	0	0	0	0	0
-6,34	0	0	0	0	0	0	0
0	0	0	0	0	0	0	0

$Vc=$

2400	0	-89	0	0	0	0	0
0	0	0	0	0	0	0	0
-89	0	0	0	0	0	0	0
0	0	0	0	0	0	0	0
0	0	0	0	0	0	0	0
0	0	0	0	0	0	0	0
0	0	0	0	0	0	0	0
0	0	0	0	0	0	0	0

$U=$

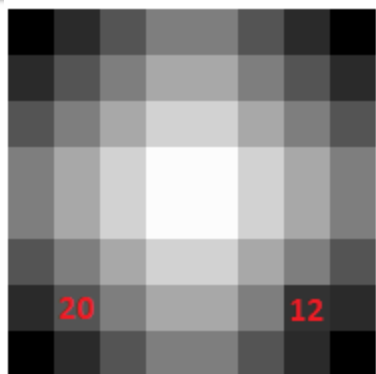
0	10	20	30	30	20	10	0
10	20	30	40	40	30	20	10
20	30	40	50	50	40	30	20
30	40	50	60	60	50	40	30
30	40	50	60	60	50	40	30
20	30	40	50	50	40	30	20
10	20	30	40	40	30	20	10
0	10	20	30	30	20	10	0

$Ur=$

1	9	21	30	30	21	9	1
9	18	30	39	39	30	18	9
21	30	42	51	51	42	30	21
30	39	51	59	59	51	39	30
30	39	51	59	59	51	39	30
21	30	42	51	51	42	30	21
9	18	30	39	39	30	18	9
1	9	21	30	30	21	9	1

$D=$

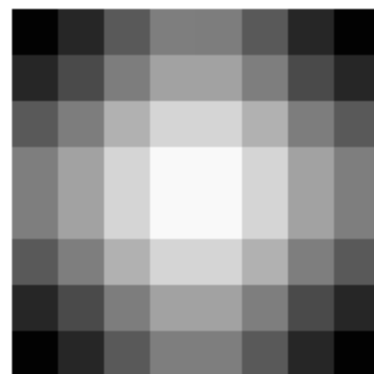
1	0	1	0	0	1	0	1
0	0	0	0	0	0	0	0
1	0	2	1	1	2	0	1
0	0	1	0	0	1	0	0
0	0	1	0	0	1	0	0
1	0	2	1	1	2	0	1
0	0	0	0	0	0	0	0
1	0	1	0	0	1	0	1



Imagine originală



Imagine DCT



Imagine refăcută



DCT Cuantizați

$V=$

239,00	1,18	-89,76	-0,28	1,00	-1,39	-5,03	-0,79
1,18	-1,38	0,64	0,32	-1,18	1,63	-1,54	0,92
-89,76	0,64	-0,29	-0,15	0,54	-0,75	0,71	-0,43
-0,28	0,32	-0,15	-0,08	0,28	-0,38	0,36	-0,22
1,00	-1,18	0,54	0,28	-1,00	1,39	-1,31	0,79
-1,39	1,63	-0,75	-0,38	1,39	-1,92	1,81	-1,09
-5,03	-1,54	0,71	0,36	-1,31	1,81	-1,71	1,03
-0,79	0,92	-0,43	-0,22	0,79	-1,09	1,03	-0,62

$Vc=$

239	0	-90	0	0	0	0	0
0	0	0	0	0	0	0	0
-90	0	0	0	0	0	0	0
0	0	0	0	0	0	0	0
0	0	0	0	0	0	0	0
0	0	0	0	0	0	0	0
0	0	0	0	0	0	0	0
0	0	0	0	0	0	0	0

$U=$

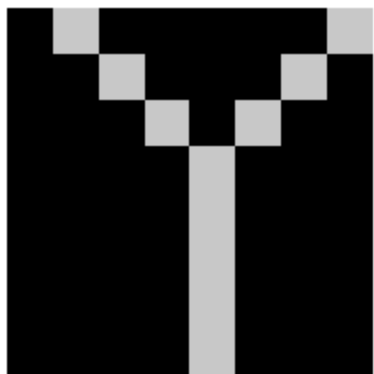
0	10	20	30	30	20	10	0
10	20	30	40	40	30	20	10
20	30	40	50	50	40	30	20
30	40	50	60	60	50	40	30
30	40	50	60	60	50	40	30
20	30	40	50	50	40	30	20
10	20	30	40	40	30	12	10
0	10	20	30	30	20	10	0

$Ur=$

0	9	21	30	30	21	9	0
9	18	30	38	38	30	18	9
21	30	42	51	51	42	30	21
30	38	51	59	59	51	38	30
30	38	51	59	59	51	38	30
21	30	42	51	51	42	30	21
9	18	30	38	38	30	18	9
0	9	21	30	30	21	9	0

$D=$

0	0	1	0	0	1	0	0
0	0	0	0	0	0	0	0
1	0	2	1	1	2	0	1
0	0	1	0	0	1	0	0
0	0	1	0	0	1	0	0
1	0	2	1	1	2	0	1
0	0	0	0	0	0	6	0
0	0	1	0	0	1	0	0



Imagine originală



Imagine DCT



Imagine refăcută



DCT Cuantizați

$V=$

275	-62,27	-163,3	49,173	75	-137,2	-67,65	131,81
83,715	-5,709	137,16	-137	-142,5	89,66	33,8	-145,6
32,664	3,7329	128,03	-96,25	-59,72	-22,24	-17,68	-18,77
-12,18	10,802	102,48	-46,3	25,972	-120,9	-55,63	61,024
-25	10,323	59,724	-3,907	75	-147,8	-51,8	23,17
-8,136	3,6211	12,919	20,554	77,488	-103,7	-14,16	-95,26
13,53	-3,031	-17,68	25,664	51,798	-38,41	21,967	-180,9
16,652	-4,185	-19,82	16,406	22,633	-1,613	26,232	-144,3

$V_c=$

275	-62	-163	49	75	-137	-68	132
84	0	137	-137	-143	90	0	-146
0	0	128	-96	-60	0	0	0
0	0	102	-46	0	-121	-56	61
0	0	60	0	75	-148	-52	0
0	0	0	0	77	-104	0	-95
0	0	0	0	52	0	0	-181
0	0	0	0	0	0	0	-144

$U=$

0	200	0	0	0	0	0	200
0	0	200	0	0	0	200	0
0	0	0	200	0	200	0	0
0	0	0	0	200	0	0	0
0	0	0	0	200	0	0	0
0	0	0	0	200	0	0	0
0	0	0	0	200	0	0	0
0	0	0	0	200	0	0	0

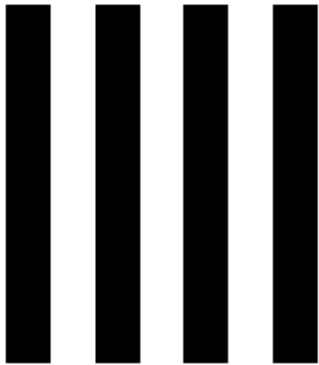
$U_r=$

0	199	3	5	0	0	20	196
7	0	188	0	21	2	189	0
0	9	0	204	0	155	10	0
7	9	2	24	226	27	0	18
0	35	0	0	199	14	13	6
3	0	9	3	195	0	8	1
0	0	20	0	203	9	0	0
11	0	0	0	188	0	0	0

$D=$

0	0	3	5	0	0	20	0
7	0	0	0	21	2	0	0
0	9	0	4	0	0	10	0
7	9	2	24	26	27	0	18
0	35	0	0	0	14	13	6
3	0	9	3	0	0	8	1
0	0	20	0	3	9	0	0
11	0	0	0	0	0	0	0

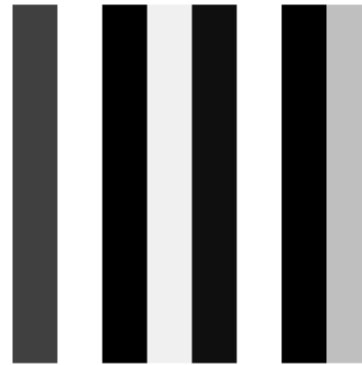
Coeficienții DCT-2D



Imagine originală



Imagine DCT



Imagine refăcută

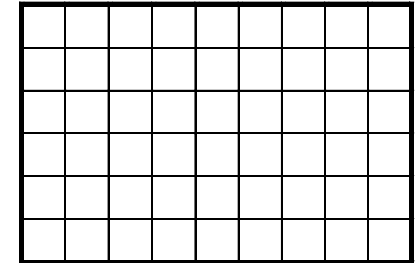


DCT Cuantizați

Sistem pentru compresia imaginilor prin transformări - DCT

- exploatează capacitatea de compactare a energiei într-un număr mic de coeficienți semnificativi (neneglijabili)
 - **DCT 2-D** este varianta optimală pentru imagini naturale
 - ca timp de calcul și eficiența compactării energiei
- **Sistem de compresie prin transformări**,
 - aplicare transformare asupra întregii imagini
 - dezavantaj - timp de calcul și memorii ocupate mari (dat de dimensiunea imaginilor)
 - divizare imagine în blocuri de $N \times N$ pixeli (tipic, 8×8 sau 16×16 pixeli) și **aplica transformata asupra fiecărui bloc**
 - necesar mic de memorie și viteză de calcul mare
 - un oarecare dezavantaj este o diminuare a compactării energiei per ansamblu față de cazul aplicării transformatei asupra întregii imagini

Imagine originală
Blocuri de 8×8



Transformata
DCT [8×8]

Cuantizarea
coeficienților DCT

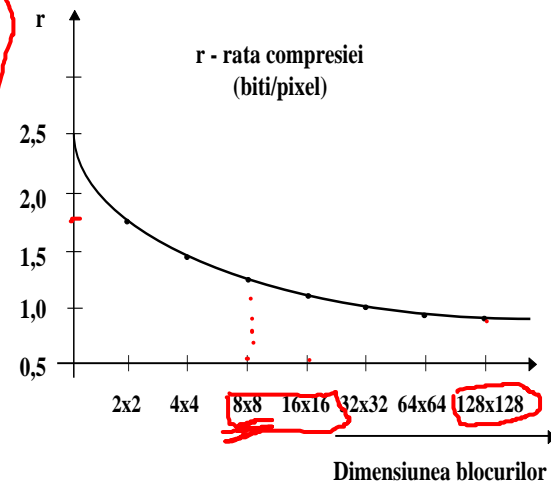
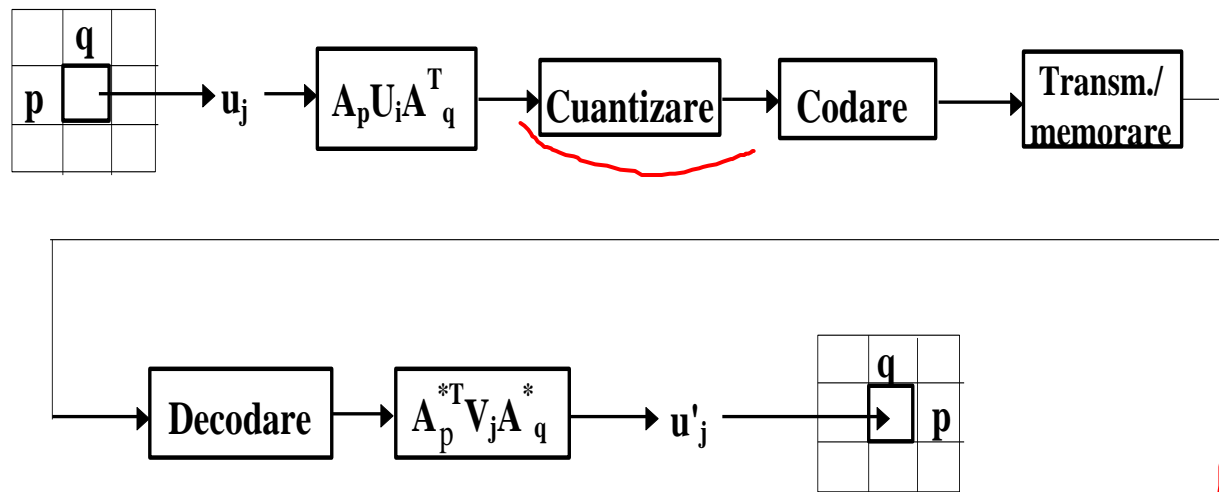
Codare
entropică

Informație
comprimată

Codarea prin transformare bidimensională

- divizarea imaginii de intrare**

- $H \times W \rightarrow$ rezulta H/p blocuri de dimensiune $p \times q$
- se reduce numărul de operații necesare pentru calculul transformatei (inclusiv prin implementarea algoritmilor rapizi de calcul)



Codarea prin transformare bidimensională

- alocarea bitilor
- alegerea cuantizorului (coef. CC, CA)
- codarea ieșirii cuantizorului
- reproducerea coeficienților (canal fără zgomot)

Tabelul 3.1

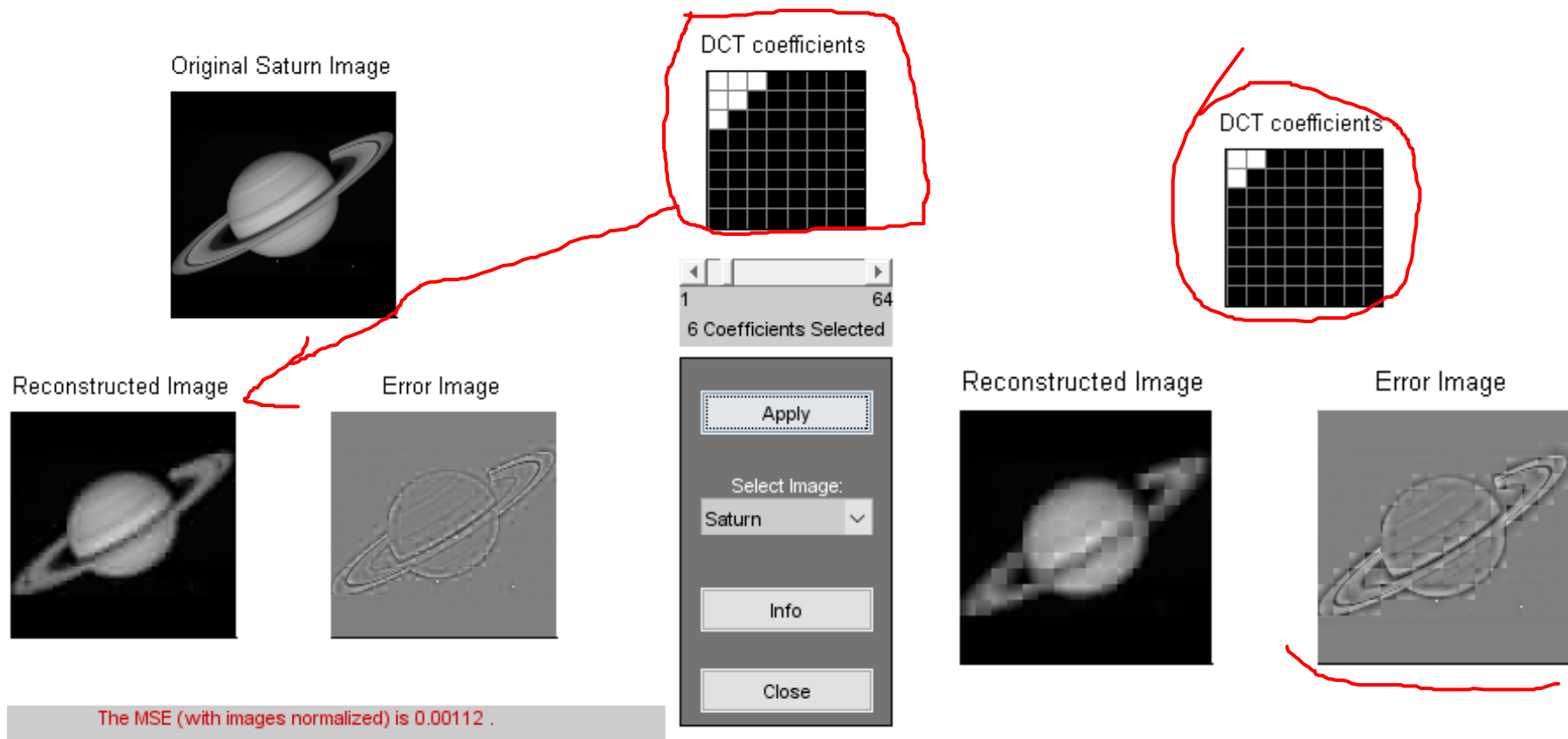
Mărimea blocului	Rata de compresie Biți/pixel	Raport Semnal-zgomot				
		KL	Cosinus	Sinus	Fourier	Hadamard
8x8	0.5	13.82	13.76	11.69	12.27	12.65
	1	16.24	16.19	14.82	14.99	15.19
	2	20.95	20.89	19.53	19.73	19.86
16x16	0.5	-	14.25	12.82	12.87	12.78
	1	-	16.58	15.65	15.52	15.27
	2	-	21.26	20.37	20.24	20.01

Cuantizarea coeficienților transformatei

- Cuantizarea coeficienților transformatei
 - proces implicit cu **pierdere** de informație
- trebuie ales cu atenție numărul de biți pe care se reprezintă/cuantizează în special coeficienții de înaltă frecvență din domeniul transformat:
 - dacă acest număr este prea mic, atunci eroarea introdusă poate cauza apariția efectului "de bloc",
- efectului "de bloc"
 - la reconstrucția blocurilor de 8×8 sau 16×16 pixeli prin invers cuantizare și IDCT 2-D, lipsesc detaliile din aceste blocuri și se observă "patratele" pe nivele de gri în locul unei zone continue de nivele de gri din imagine.

Efectului "de bloc",

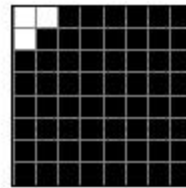
- Efectului "de bloc "
 - se poate observa cu aplicatia DCTDemo, din Matlab, pentru diferiti coeficienti ai transformatei setati la 0 (echivalent cu cuantizarea grosiera a diferitelor frecvente din domeniul transformat).



Original Trees Image



DCT coefficients

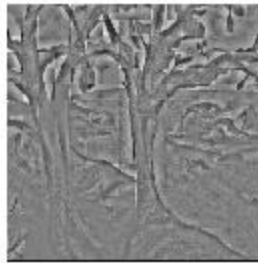


1 64
3 Coefficients Selected

Reconstructed Image



Error Image

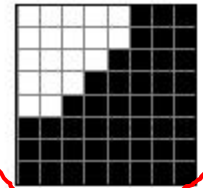


The MSE (with images normalized) is 0.0167 .

Original Trees Image



DCT coefficients

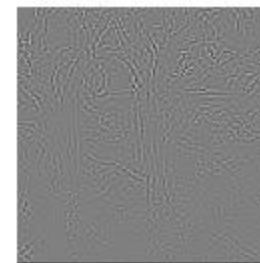


1 64
19 Coefficients Selected

Reconstructed Image



Error Image



The MSE (with images normalized) is 0.00381 .

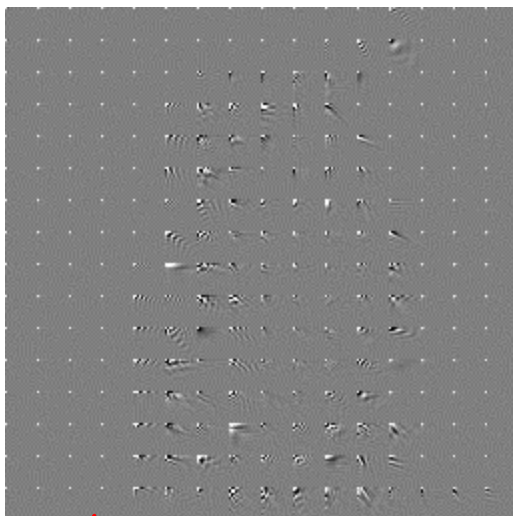
Apply

Select Image:

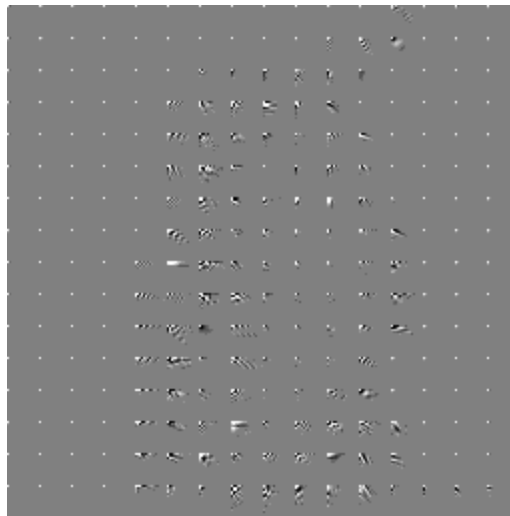
Trees

Info

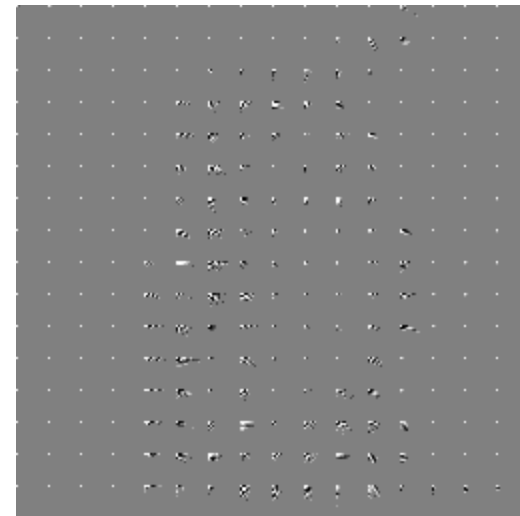
Close



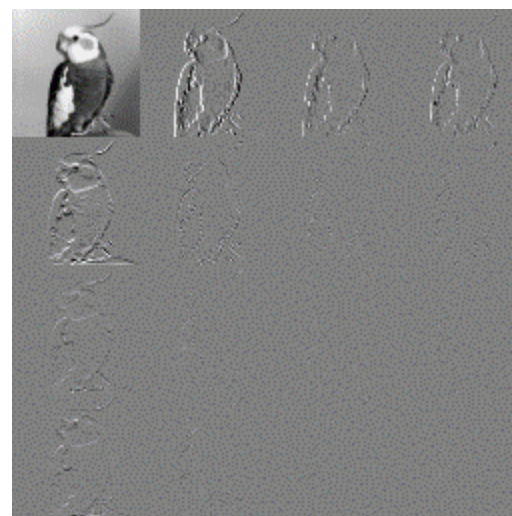
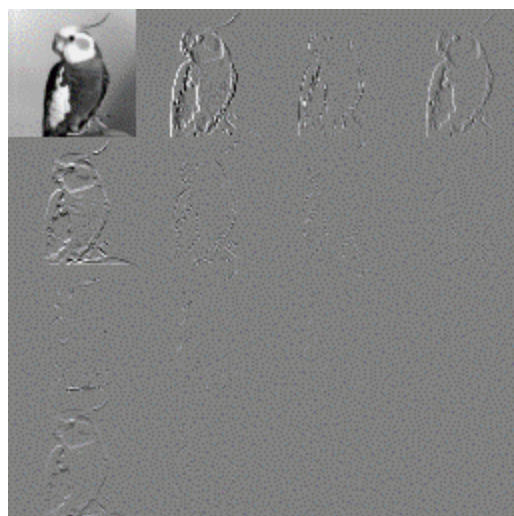
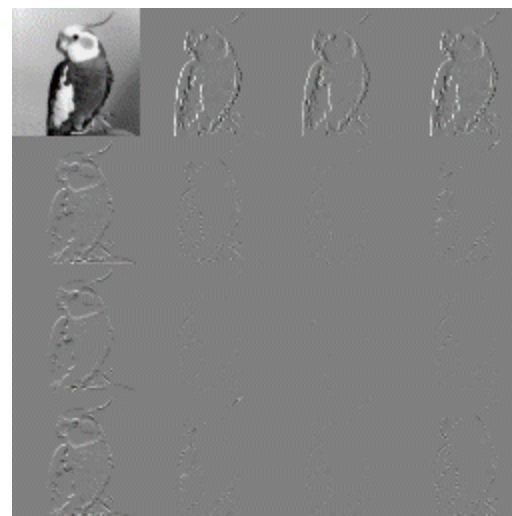
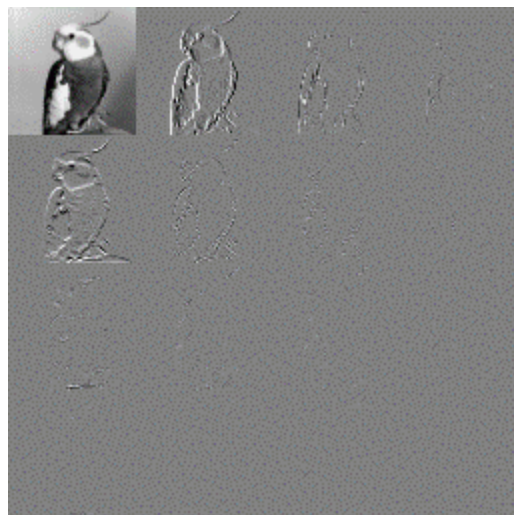
85% zero-uri



96% zero-uri



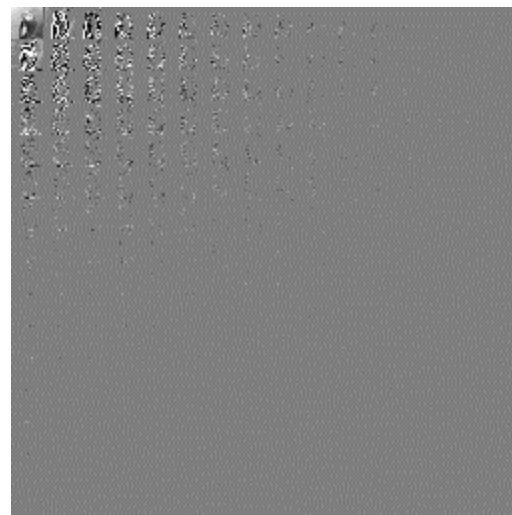
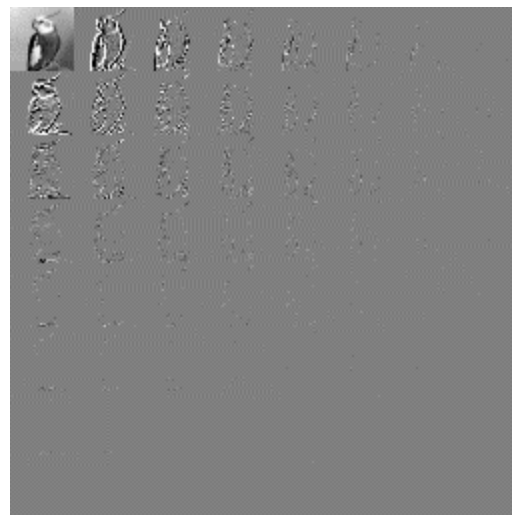
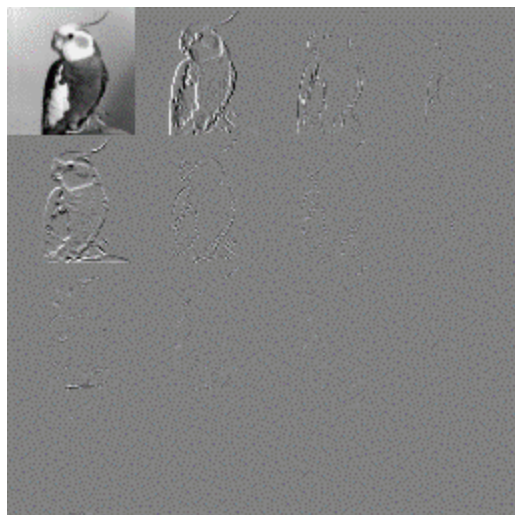
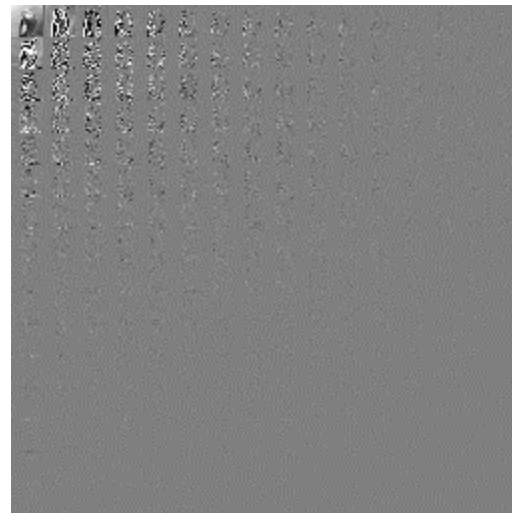
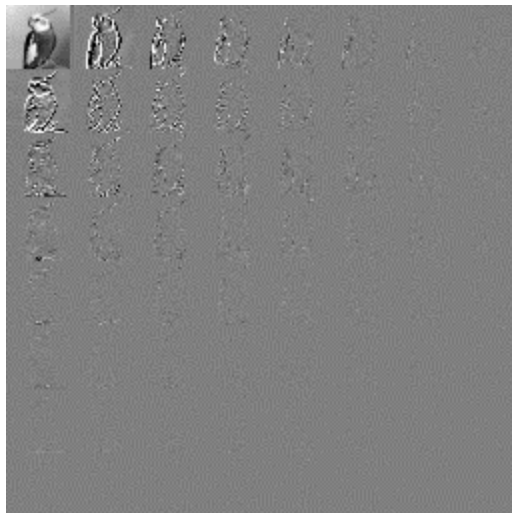
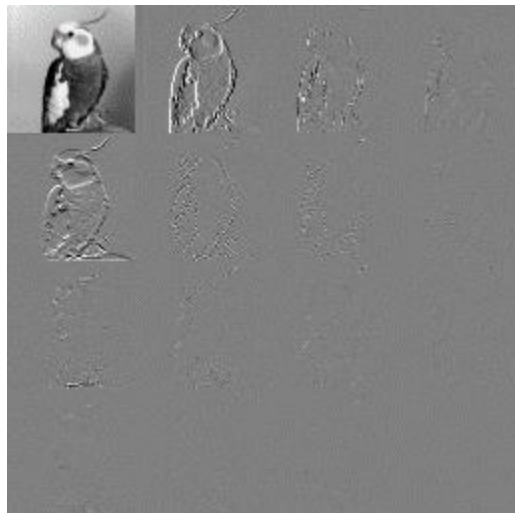
98%

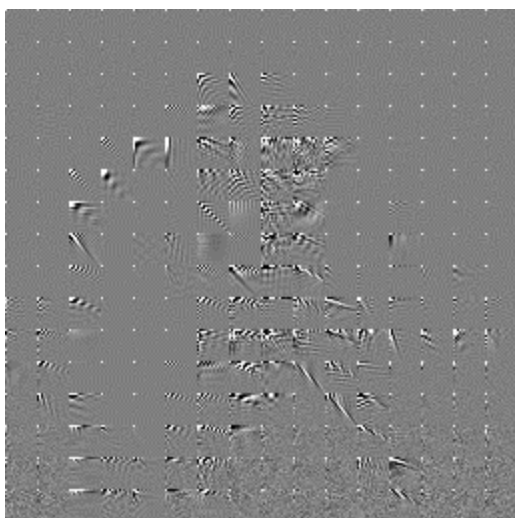
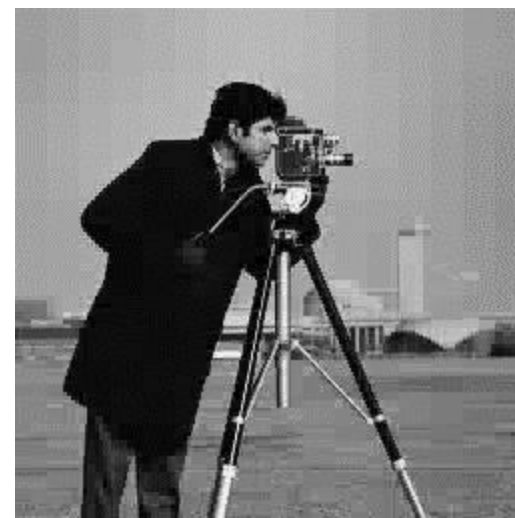


4x4

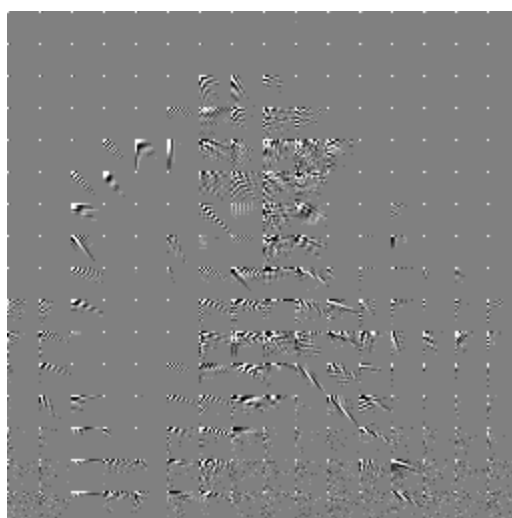
↓
8x8

16x16





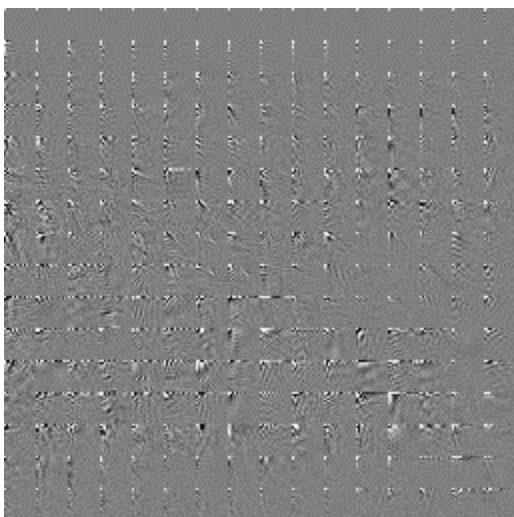
63% zero-uri



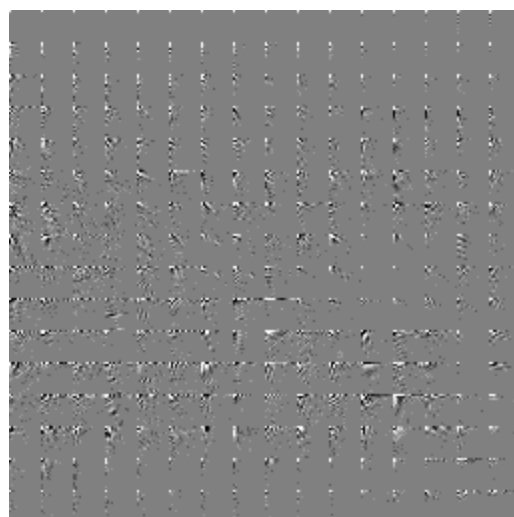
88% zero-uri



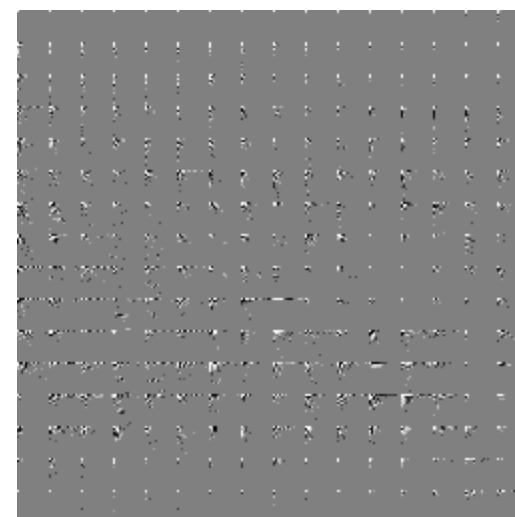
95%



44% zero-uri



87% zero-uri



95%

Codarea zonală și codarea cu prag

- doar o mica zonă din imaginea transformată se transmite (alocarea biților)

- codarea zonală**

- masca zonală

$$m(k, l) = \begin{cases} 1, & k, l \in I_t \\ 0, & \text{in rest} \end{cases}$$



1	1	1	1	0
1	1	1	0	0
1	1	0	0	0
1	0	0	0	0
0	0	0	0	0

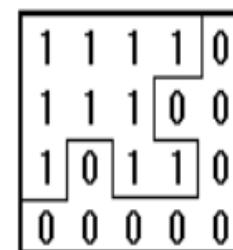
a Mască zonală

- codarea cu prag**

- pragul
- masca cu prag

$$I'_t = \{k, l \mid \underline{v(k, l)} > \underline{\eta}\}$$

$$m_{\eta}(k, l) = \begin{cases} 1, & k, l \in I'_t \\ 0, & \text{in rest} \end{cases}$$



1	1	1	1	0
1	1	1	0	0
1	0	1	1	0
0	0	0	0	0

b Mască cu prag

- Cuantizoare uniforme**

- ordonarea "zig-zag" a coeficienților

Cuantizoarele din schemele de compresie bazate pe transformari

- Cuantizoare uniforme
 - definite în mod unic prin numărul de biti alocat fiecarui coeficient din domeniul transformat
 - pentru un bloc de dimensiune $p \times p$, cu p – oarecare (în general 8 sau 16), cuantizoarele pot fi specificate printr-o **matrice de cuantizare** Q de aceeași dimensiune $p \times p$, unde elementele din matrice reprezintă **intervalul de cuantizare** alocat cuantizorului coeficientului respectiv al transformatei (coeficientul de c.c. sau unul din coeficienții de c.a.).
 - procesul de cuantizare constă pur și simplu în divizarea valorilor coeficienților transformatei imaginii la valoarea corespunzătoare din matricea de cuantizare (adică, la intervalul de cuantizare = pasul de cuantizare)
 - Alegerea numărului de nivele de cuantizare (intervalului de cuantizare pentru fiecare cuantizor în parte),
 - se realizează în funcție de varianța fiecarui coeficient al transformatei imaginii, estimat pentru/dintr-un set de imagini tipice pentru aplicația de codare considerată:
 - cu cât varianța unui coeficient este mai mare, cu atât numărul de nivele de cuantizare necesar pentru reprezentarea fidelă a coeficientului și ca urmare și a imaginii reconstituite (decodate) este mai mare.
- => procedura poartă numele de determinarea alocării bitilor.

- În general, există obținute, din date experimentale, seturi de matrici de cuantizare recomandate pentru diferite categorii de imagini, pentru dimensiuni ale blocurilor de imagine de 8×8 sau 16×16 pixeli.
- Valorile coeficientilor acestor matrici se pot însa ajusta în schemele de compresie pentru aplicații practice la specificul imaginilor comprimate în aplicația respectivă.

$$Q_3(\text{niv. calit. } 50\%) = \begin{bmatrix} 16 & 11 & 10 & 16 & 24 & 40 & 51 & 61 \\ 12 & 12 & 14 & 19 & 26 & 58 & 60 & 55 \\ 14 & 13 & 16 & 24 & 40 & 57 & 69 & 56 \\ 14 & 17 & 22 & 29 & 51 & 87 & 80 & 62 \\ 18 & 22 & 37 & 56 & 68 & 109 & 103 & 77 \\ 24 & 35 & 55 & 64 & 81 & 104 & 113 & 92 \\ 49 & 64 & 78 & 87 & 103 & 121 & 120 & 101 \\ 72 & 92 & 95 & 98 & 112 & 100 & 103 & 99 \end{bmatrix}$$

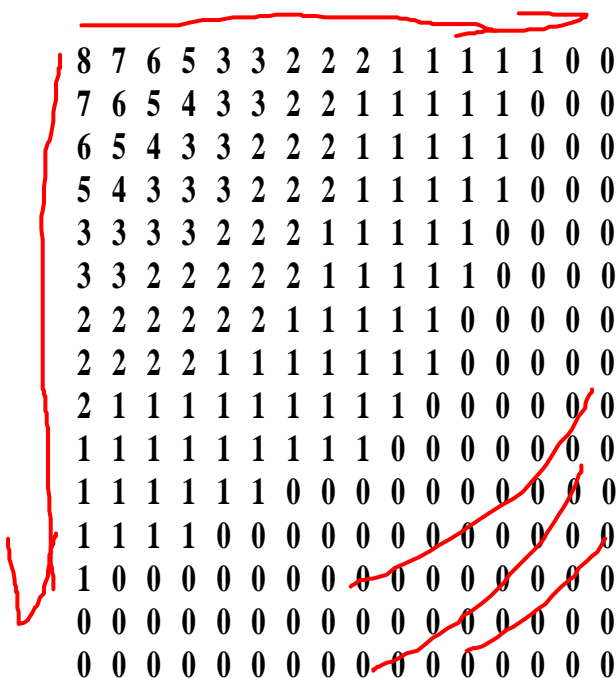
$$Q_4(\text{niv. calit. } 10\%) = \begin{bmatrix} 80 & 60 & 50 & 80 & 120 & 200 & 255 & 255 \\ 55 & 60 & 70 & 95 & 130 & 255 & 255 & 255 \\ 70 & 65 & 80 & 120 & 200 & 255 & 255 & 255 \\ 70 & 85 & 110 & 145 & 255 & 255 & 255 & 255 \\ 90 & 110 & 185 & 255 & 255 & 255 & 255 & 255 \\ 120 & 175 & 255 & 255 & 255 & 255 & 255 & 255 \\ 245 & 255 & 255 & 255 & 255 & 255 & 255 & 255 \\ 255 & 255 & 255 & 255 & 255 & 255 & 255 & 255 \end{bmatrix}$$

$$Q_1 = \begin{bmatrix} 8 & 36 & 36 & 36 & 39 & 45 & 52 & 65 \\ 36 & 36 & 36 & 37 & 41 & 47 & 56 & 58 \\ 36 & 36 & 38 & 42 & 47 & 54 & 64 & 78 \\ 36 & 37 & 42 & 50 & 59 & 69 & 81 & 98 \\ 39 & 41 & 47 & 54 & 73 & 89 & 108 & 130 \\ 45 & 47 & 54 & 69 & 89 & 115 & 144 & 178 \\ 53 & 56 & 64 & 81 & 108 & 144 & 190 & 243 \\ 65 & 68 & 78 & 98 & 130 & 178 & 243 & 255 \end{bmatrix}, Q_2 = \begin{bmatrix} 3 & 5 & 7 & 9 & 11 & 13 & 15 & 17 \\ 5 & 7 & 9 & 11 & 13 & 15 & 17 & 19 \\ 7 & 9 & 11 & 13 & 15 & 17 & 19 & 21 \\ 9 & 11 & 13 & 15 & 17 & 19 & 21 & 23 \\ 11 & 13 & 15 & 17 & 19 & 21 & 23 & 25 \\ 13 & 15 & 17 & 19 & 21 & 23 & 25 & 27 \\ 15 & 17 & 19 & 21 & 23 & 25 & 27 & 29 \\ 17 & 19 & 21 & 23 & 25 & 27 & 29 & 31 \end{bmatrix}$$

$$Q_5(\text{niv. calit. } 90\%) = \begin{bmatrix} 3 & 2 & 2 & 3 & 5 & 8 & 10 & 12 \\ 2 & 2 & 3 & 4 & 5 & 12 & 12 & 11 \\ 3 & 3 & 3 & 5 & 8 & 11 & 14 & 11 \\ 3 & 3 & 4 & 6 & 10 & 17 & 16 & 12 \\ 4 & 4 & 7 & 11 & 14 & 22 & 21 & 15 \\ 5 & 7 & 11 & 13 & 16 & 12 & 23 & 18 \\ 10 & 13 & 16 & 17 & 21 & 24 & 24 & 21 \\ 14 & 18 & 19 & 20 & 22 & 20 & 20 & 20 \end{bmatrix}$$

Alocarea bitilor

- dispersia coeficienților nu este uniformă
- cuantizare cu număr diferit de biți
- numărul biților de cuantizare este n_k întreg

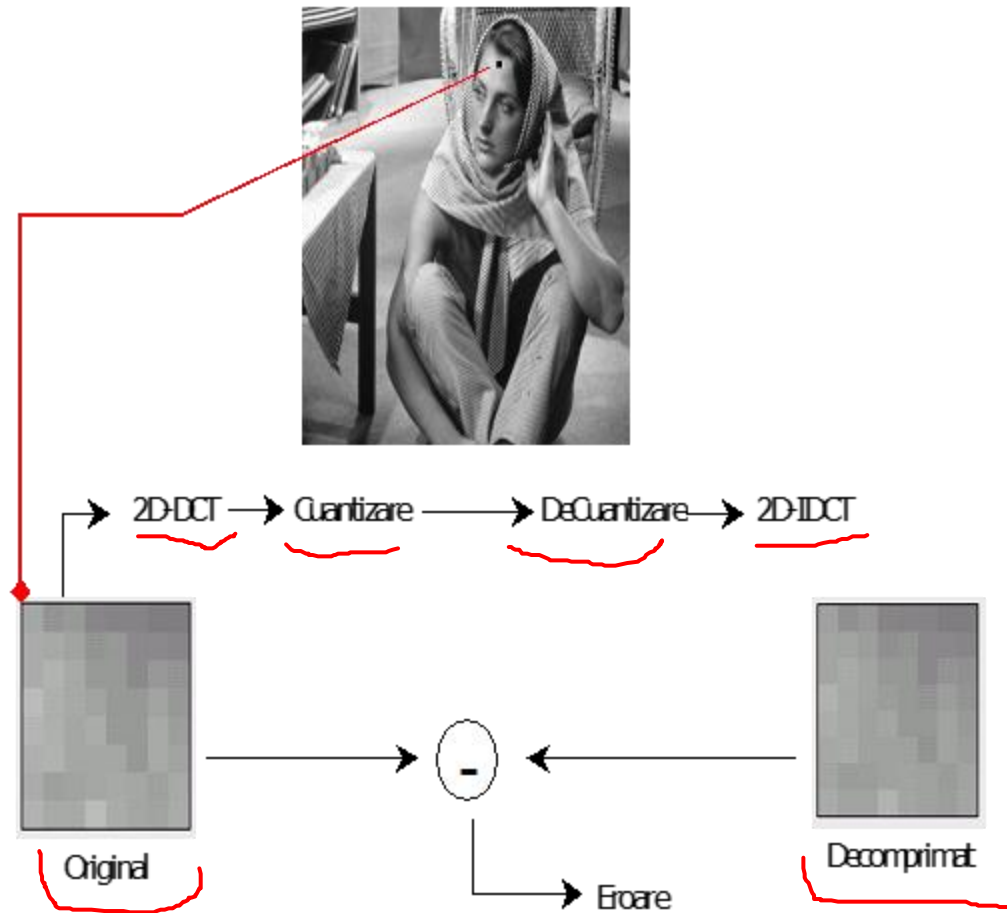


8	7	6	5	3	3	2	2	2	1	1	1	1	1	0	0
7	6	5	4	3	3	2	2	1	1	1	1	1	1	0	0
6	5	4	3	3	2	2	2	1	1	1	1	1	1	0	0
5	4	3	3	3	2	2	2	1	1	1	1	1	1	0	0
3	3	3	3	2	2	2	1	1	1	1	1	1	0	0	0
3	3	2	2	2	2	2	1	1	1	1	1	1	0	0	0
2	2	2	2	2	2	1	1	1	1	1	1	0	0	0	0
2	2	2	2	1	1	1	1	1	1	1	1	0	0	0	0
2	1	1	1	1	1	1	1	1	1	1	0	0	0	0	0
1	1	1	1	1	1	1	1	1	1	0	0	0	0	0	0
1	1	1	1	1	1	0	0	0	0	0	0	0	0	0	0
1	1	1	1	0	0	0	0	0	0	0	0	0	0	0	0
1	0	0	0	0	0	0	0	0	0	0	0	0	0	0	0
0	0	0	0	0	0	0	0	0	0	0	0	0	0	0	0
0	0	0	0	0	0	0	0	0	0	0	0	0	0	0	0

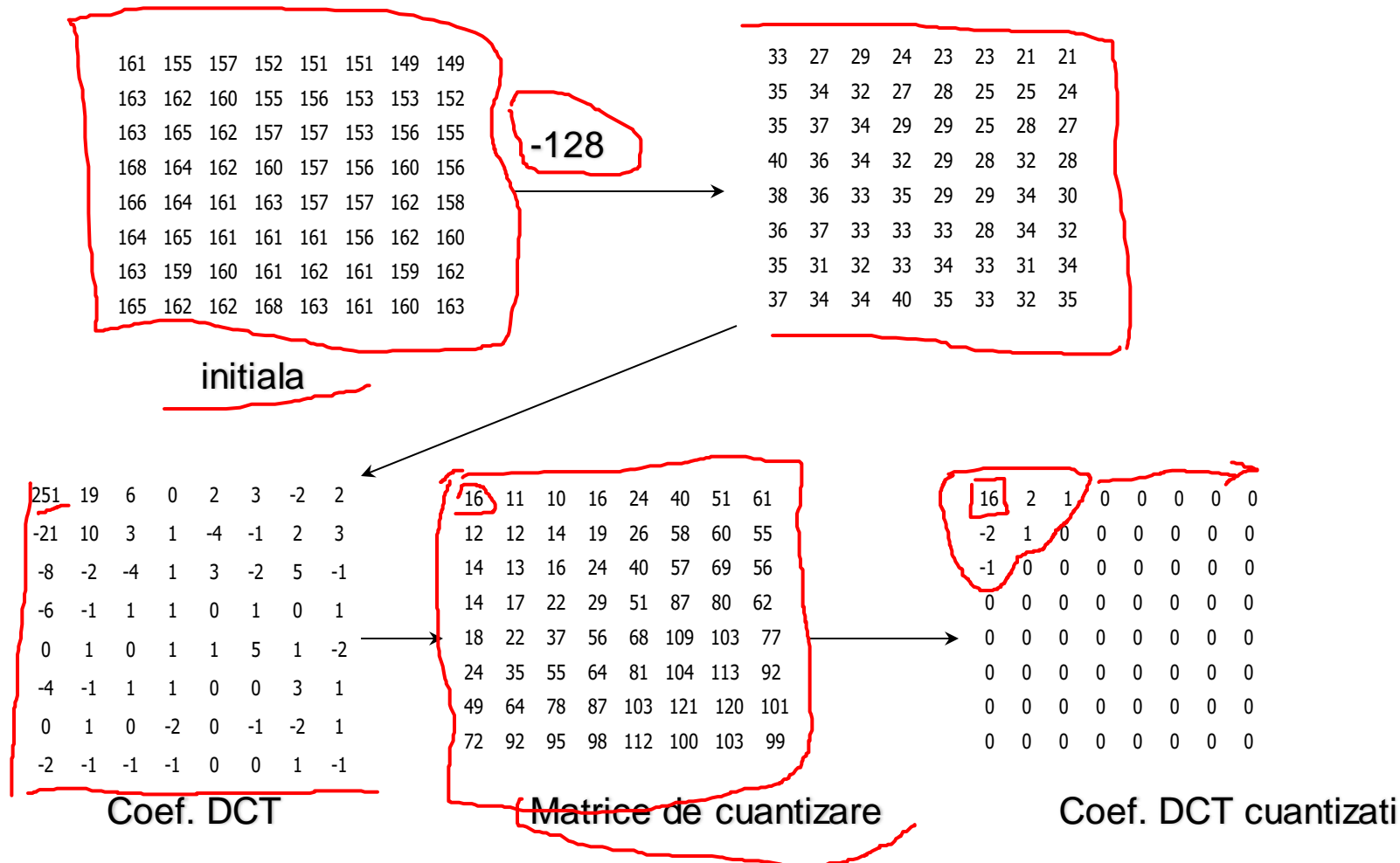
alocarea bitilor pentru DCT pe fereastra
de 16x16 pixeli pentru o rata medie de
1bit/pixel

-
- Ultima etapa din schemele de codare prin transformari consta în:
 - (1) ordonarea coeficientilor cuantizati ai transformatei dupa o regula prestabilita (scopul fiind în general gruparea coeficientilor cuantizati care au valoarea 0 într-un sir cât mai compact, deoarece acesta poate fi omis la transmisie/stocare) (ex. pt. transformata DCT 2-D, se foloseste ordonarea în zig-zag);
 - (2) codarea entropica (Huffman, codare aritmetica) a coeficientilor cuantizati nenuli, care urmeaza a fi transmisi/stocati – realizata în standardul JPEG pe baza unor tabele de codare prestabilite în urma experimentelor pe un numar mare de imagini – tabele standardizate de codare.

Schemă codare DCT



Codarea DCT



Codarea DCT

256	22	10	0	0	0	0	0
-24	12	0	0	0	0	0	0
-14	0	0	0	0	0	0	0
0	0	0	0	0	0	0	0
0	0	0	0	0	0	0	0
0	0	0	0	0	0	0	0
0	0	0	0	0	0	0	0
0	0	0	0	0	0	0	0

IDCT; +128

162	160	157	153	151	149	149	148
163	162	158	155	153	151	151	151
166	164	161	158	156	155	155	155
167	166	163	161	159	158	158	159
168	167	164	162	161	161	161	162
167	166	164	162	161	161	162	163
166	164	163	161	161	161	162	163
164	163	162	160	160	161	162	163

1	5	0	1	0	-2	0	-1
0	0	-2	0	-3	-2	-2	-1
3	-1	-1	1	-1	2	-1	0
-1	2	1	1	2	2	-2	3
2	3	3	-1	4	4	-1	4
3	1	3	1	0	5	0	3
3	5	3	0	-1	0	3	1

$$eroarea = 20 \log_{10} \left(\frac{255}{\sqrt{\frac{1}{MN} \sum_{x=0}^{N-1} \sum_{y=0}^{M-1} [X(x, y) - \hat{X}(x, y)]^2}} \right)$$

40.67 dB

Algoritmi de calcul rapid al DCT

Metoda DCT sau IDCT	Înmulțiri		Adunări	
	1D	2D	1D	2D
1D Chen	16	256	26	416
1D Lee	12	192	29	464
1D Loeffler	11	176	29	464
2D Kamangar		128		430
2D Cho, Lee		96		466

- DCT 2D 8x8 pixeli clasic avem 1024 înmulțiri și 896 adunări

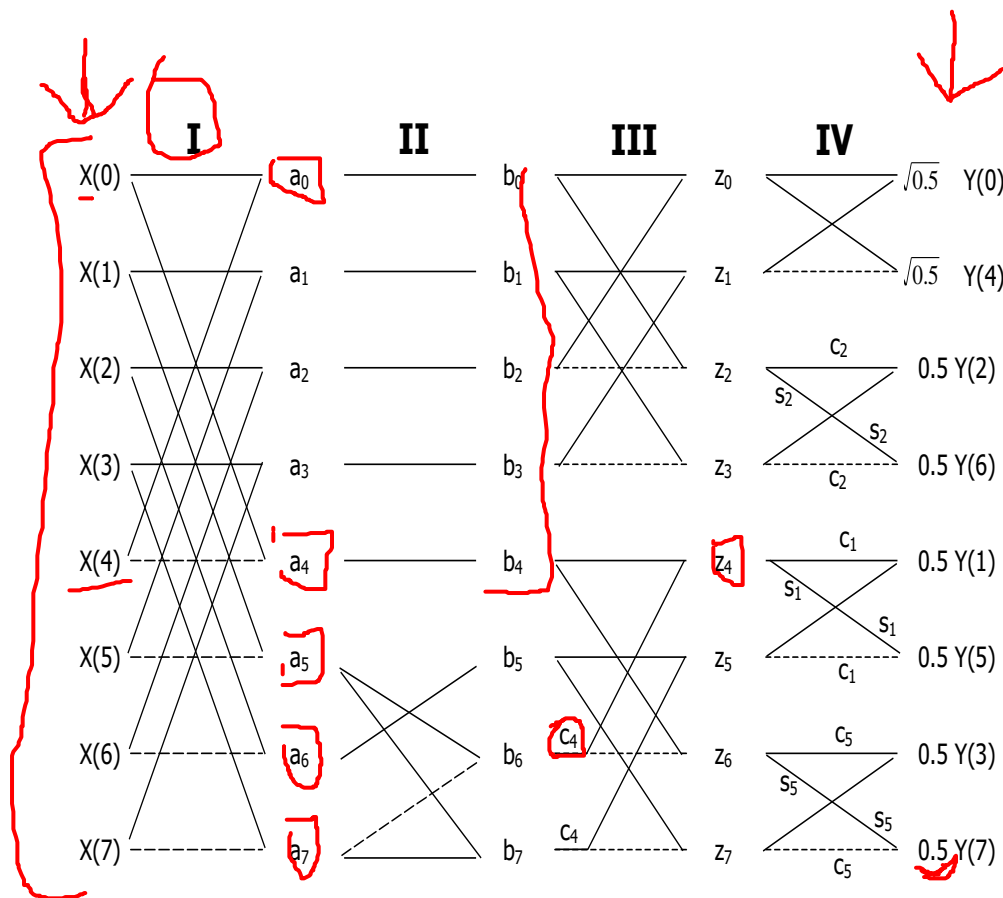
Algoritmi de calcul rapid al DCT

- Algoritmul II – CHEN
- Pasul 1

$$\begin{aligned}
 a_0 &= X(0) + X(4) & a_4 &= X(0) - X(4) \\
 a_1 &= X(1) + X(5) & a_5 &= X(1) - X(5) \\
 a_2 &= X(2) + X(6) & a_6 &= X(2) - X(6) \\
 a_3 &= X(3) + X(7) & a_7 &= X(3) - X(7)
 \end{aligned}$$

- Pasul 2

$$\begin{aligned}
 b_0 &= a_0 & b_4 &= a_4 \\
 b_1 &= a_1 & b_5 &= a_6 \\
 b_2 &= a_2 & b_6 &= a_5 - a_7 \\
 b_3 &= a_3 & b_7 &= a_5 + a_7
 \end{aligned}$$



Unde avem următoarele notații:

Diagram showing the notation for butterfly operations. A butterfly with inputs m and n , and outputs $m+n$ and $m-n$. The inputs m and n are circled in red.

Algoritmi de calcul rapid al DCT

- Algoritmul II – CHEN ... rezultă 16 înmulțiri și 26 adunări

- Pasul 3

$$z_0 = b_0 + b_2$$

$$z_4 = b_4 + c_4 b_6$$

$$z_1 = b_1 + b_3$$

$$z_5 = b_5 + c_4 b_7$$

$$z_2 = b_0 - b_2$$

$$z_6 = b_4 - c_4 b_6$$

$$z_3 = b_1 - b_3$$

$$z_7 = b_5 - c_4 b_7$$

- Pasul 4

$$\sqrt{0.5} \cdot Y(0) = z_0 + z_1$$

$$0.5 \cdot Y(1) = z_4 c_1 + z_5 s_1$$

$$\sqrt{0.5} \cdot Y(4) = z_0 - z_1$$

$$0.5 \cdot Y(5) = z_4 s_1 - z_5 c_1$$

$$0.5 \cdot Y(2) = z_2 c_2 + z_3 s_2$$

$$0.5 \cdot Y(3) = z_6 c_5 + z_7 s_5$$

$$0.5 \cdot Y(6) = z_2 s_2 - z_3 c_2$$

$$0.5 \cdot Y(7) = z_6 s_5 - z_7 c_5$$

Algoritmi de calcul rapid al DCT

- 1D DCT pe 8 puncte – 64 înmulțiri; 56 adunări
- Algoritmul I – simetric

$$s_k = \sin \frac{k\pi}{16}; \quad \text{respectiv} \quad c_k = \cos \frac{k\pi}{16}$$

$$c_1 = s_7 = 0.9808$$

$$c_2 = s_6 = 0.9239$$

$$c_3 = s_5 = 0.8315$$

$$c_4 = s_4 = 0.7071$$

$$c_5 = s_3 = 0.5556$$

$$c_6 = s_2 = 0.3827$$

$$c_7 = s_1 = 0.1951$$

$$s_{jk} = s(j) + s(k)$$

$$s_{07} = s(0) + s(7)$$

$$s_{16} = s(1) + s(6)$$

$$s_{25} = s(2) + s(5)$$

$$s_{34} = s(3) + s(4)$$

$$s_{0734} = s_{07} + s_{34}$$

$$s_{1625} = s_{16} + s_{25}$$

Algoritmi de calcul rapid al DCT

- Algoritmul I – simetric

$$d_{jk} = s(j) - s(k)$$

$$d_{07} = s(0) - s(7)$$

$$d_{16} = s(1) - s(6)$$

$$d_{25} = s(2) - s(5)$$

$$d_{34} = s(3) - s(4)$$

$$d_{0734} = s_{07} - s_{34}$$

$$d_{1625} = s_{16} - s_{25}$$

$$2S(0) = c_4(s_{0734} + s_{1625})$$

$$2S(1) = c_1 d_{07} + c_3 d_{16} + c_5 d_{25} + c_7 d_{34}$$

$$2S(2) = c_2 d_{0734} + c_6 d_{1625}$$

$$2S(3) = c_3 d_{07} - c_7 d_{16} - c_1 d_{25} - c_5 d_{34}$$

$$2S(4) = c_4(s_{0734} - s_{1625})$$

$$2S(5) = c_5 d_{07} - c_1 d_{16} + c_7 d_{25} + c_3 d_{34}$$

$$2S(6) = c_6 d_{0734} - c_2 d_{1625}$$

$$2S(7) = c_7 d_{07} - c_5 d_{16} + c_3 d_{25} - c_1 d_{34}$$

- 22 înmulțiri și 28 (6+6+16) adunări

Problema

$$V = A \cdot U \cdot A^T \quad V_H = H \cdot U \cdot H$$

Fie blocul de imagine U de dimensiune 4×4 pixeli de mai jos, care reprezintă o porțiune dintr-o imagine tip tablă de șah, în care fiecare pixel este reprezentat prin luminanța sa. Dorim să aplicăm o transformare unitară asupra blocului U astfel încât să se conserve, în urma transformării, în totalitate energia blocului, dar în același timp, să se compacteze într-un număr mult mai mic de coeficienți nenuli decât numărul coeficienților nenuli din blocul U reprezentat în domeniul spațial.

- Dacă matricile transformărilor pe care le avem la dispoziție sunt: matricea transformării Hadamard unitară ordonată, $H_4[4 \times 4]$; matricea transformării cosinus discrete, $C_4[4 \times 4]$; matricea transformării Fourier discrete unitare, $F_4[4 \times 4]$, pe care dintre ele ați alege-o pentru a asigura atât conservarea cât și compactarea energiei? Justificați răspunsul.
- Cum arată blocul de imagine $V[4 \times 4]$ în domeniul transformat, folosind matricea transformării aleasă? (Se va realiza o transformare bidimensională a imaginii). Demonstrați conservarea energiei blocului în urma transformării și estimați compactarea energiei blocului obținută prin transformare.

$$U = \begin{bmatrix} 100 & 200 & 200 & 100 \\ 200 & 0 & 0 & 200 \\ 200 & 200 & 200 & 200 \\ 100 & 200 & 200 & 200 \end{bmatrix}$$

$$E_U = 8 \cdot 100^2 = 80000$$

$$E_V = 2 \cdot 200^2 = 80000$$

$$E_V = 2 \cdot 200^2 = 80000$$

$$U = \begin{bmatrix} 0 & 0 & 100 & 100 \\ 100 & 100 & 0 & 0 \\ 0 & 0 & 100 & 100 \\ 100 & 100 & 0 & 0 \end{bmatrix}$$

$$H_4 = \frac{1}{2} \cdot \begin{bmatrix} 1 & 1 & 1 & 1 \\ 1 & -1 & -1 & 1 \\ 1 & -1 & 1 & -1 \\ 1 & 1 & -1 & -1 \end{bmatrix}$$

$$H^T = H$$

$$C_4 = \begin{bmatrix} 0.5 & 0.5 & 0.5 & 0.5 \\ 0.65 & 0.27 & -0.27 & -0.65 \\ 0.5 & -0.5 & -0.5 & 0.5 \\ 0.27 & -0.65 & 0.65 & -0.27 \end{bmatrix}$$

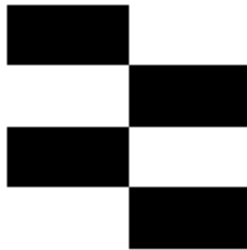
$$C^T \neq C$$

$$F_4 = \frac{1}{2} \cdot \begin{bmatrix} 1 & 1 & 1 & 1 \\ 1 & -j & -1 & j \\ 1 & -1 & 1 & -1 \\ 1 & j & -1 & -j \end{bmatrix}$$

$$F^T = F$$

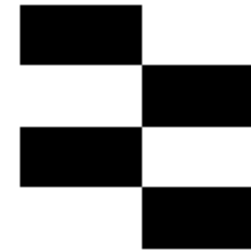
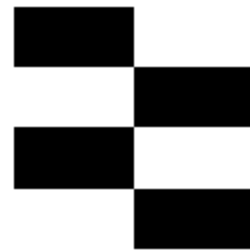
DCT

510.00	0.00	0.00	0.00
0.00	-180.31	0.00	74.69
0.00	0.00	0.00	0.00
0.00	-435.31	0.00	180.31



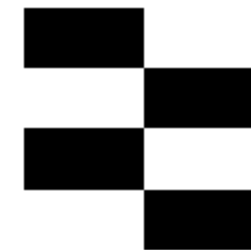
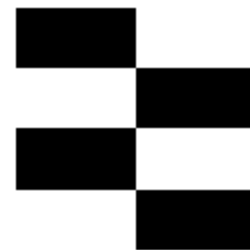
Hadamard

510.00	0.00	0.00	0.00
0.00	0.00	0.00	0.00
0.00	0.00	0.00	0.00
0.00	-510.00	0.00	0.00



Fourier

510	0	0	0
0	0	0	0
0	$-255 + 255i$	0	$-255 + 255i$
0	0	0	0



Haar

510.00	0.00	0.00	0.00
0.00	0.00	0.00	0.00
0.00	-360.62	0.00	0.00
0.00	-360.62	0.00	0.00

